

ภาคผนวก ข คู่มือการใช้ซอฟต์แวร์ Gambit และ Fluent บนระบบปฏิบัติการ LINUX

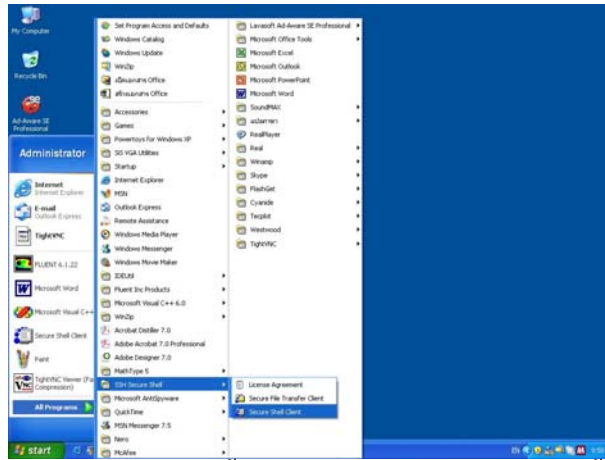
ขั้นตอนเริ่มต้นก่อนใช้งาน

ในคู่มือการใช้ในงานวิจัยนี้ได้ทำบนเครื่อง Helios ที่ APSTF Lab. จึงอ้างอิงวิธีใช้จากเครื่อง Helios แต่ระบบวิธีใช้หลักๆจะเหมือนกันทุกเครื่อง

1. ขอ Account ในการใช้เครื่อง Helios ที่ <http://apstf.cpe.ku.ac.th/>
2. ทำการติดตั้งโปรแกรม SSH SecureShellClient และ Tightvnc โดยทำการ Download ได้ที่ http://apstf.cpe.ku.ac.th/index.php?option=com_content&task=view&id=29&Itemid=37

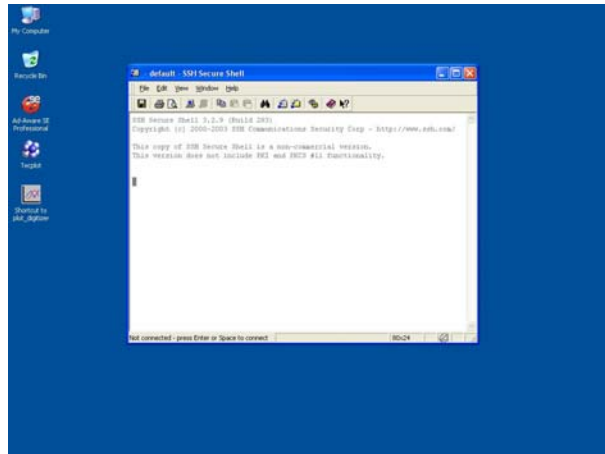
วิธีการเข้าเครื่อง Helios ผ่าน SecureShell

- 1) ไปที่ Start → all program → SSH SecureShellClient → SecureShellClient



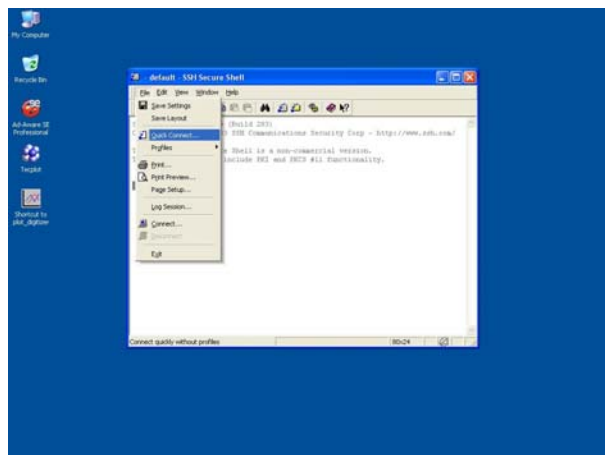
ภาพผนวกที่ ข1 แสดงขั้นตอนการใช้งานเครื่อง Helios ขั้นที่ 1

- 2) จะได้หน้าจอทำงานของSecureShellClient



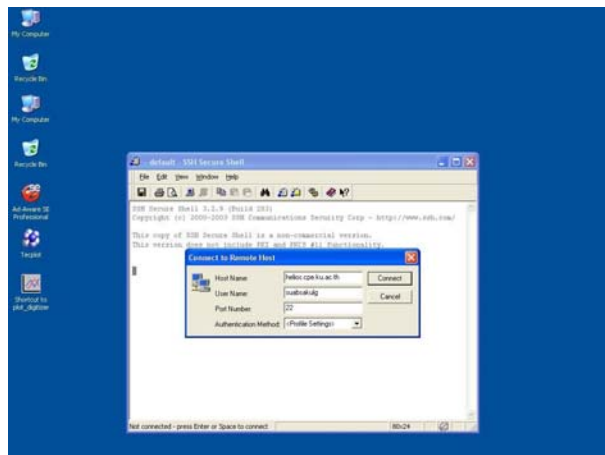
ภาพผนวกที่ ข2 แสดงขั้นตอนการใช้งานเครื่อง Helios ขั้นที่ 2

- 3) เลือก file → Quick connect



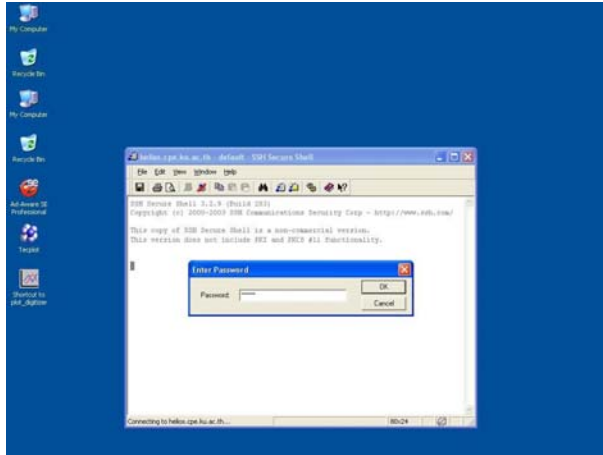
ภาพผนวกที่ ข3 แสดงขั้นตอนการใช้งานเครื่อง Helios ขั้นที่ 3

- 4) ที่ Host Name พิมพ์ helios.cpe.ku.ac.th ที่ User Name พิมพ์ ชื่อ Account ที่ขอได้



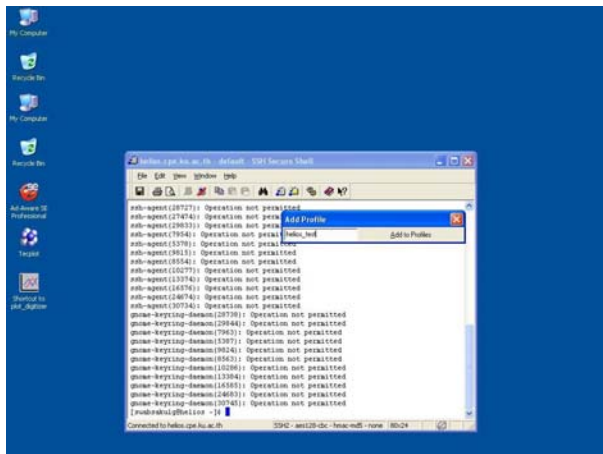
ภาพผนวกที่ ข4 แสดงขั้นตอนการใช้งานเครื่อง Helios ขั้นที่ 4

5) ใส่ Password



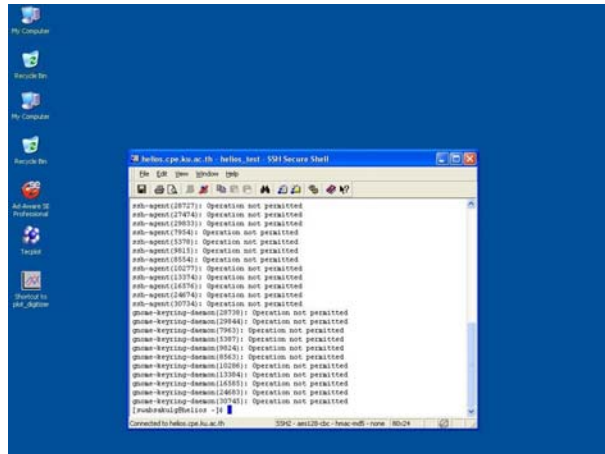
ภาพผนวกที่ ข5 แสดงขั้นตอนการใช้งานเครื่อง Helios ขั้นที่ 5

6) ผู้ใช้สามารถตั้งค่าให้ Secureshell สามารถจำชื่อ Account ที่ใช้นี้ได้ โดยตั้งชื่อที่ Profile



ภาพผนวกที่ ข6 แสดงขั้นตอนการใช้งานเครื่อง Helios ขั้นที่ 6

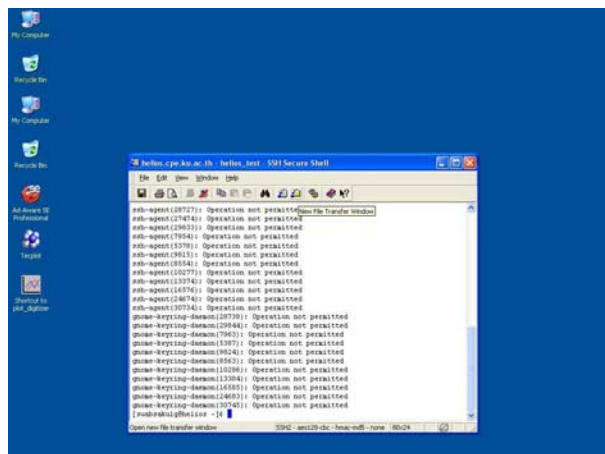
7) หน้าจอการทำงานของ Secureshell โดยเริ่มต้นผู้ใช้งานจะอยู่ใน โดเร็กทอรี home/ชื่อ Account เสมอ



ภาพผนวกที่ ข7 แสดงขั้นตอนการใช้งานเครื่อง Helios ขั้นที่ 7

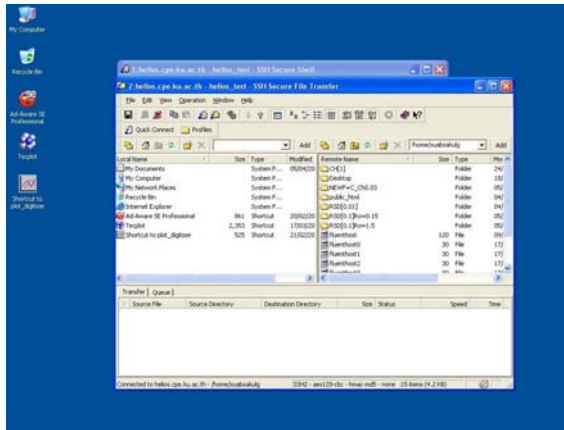
การโอนย้าย File ต่างๆจากเครื่อง PC ของผู้ใช้นำมาใช้ในเครื่อง Helios

1. เลือกที่ New file transfer window



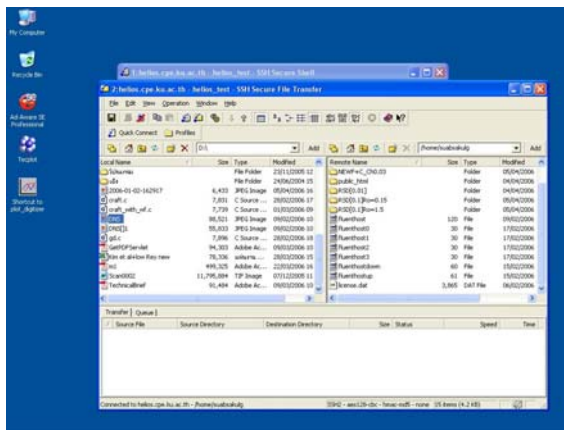
ภาพผนวกที่ ข8 แสดงขั้นตอนการโอนย้าย File ขั้นที่ 1

2. จะได้นำจอ SSH secure file transfer ในตำแหน่งของ Folder ด้านซ้ายมือจะเป็น Folder ในส่วนของเครื่อง PC ที่ผู้ใช้ใช้อยู่ ส่วนด้านขวามือเป็น folder ในส่วนของ home/ชื่อ Account ภายในเครื่อง Helios



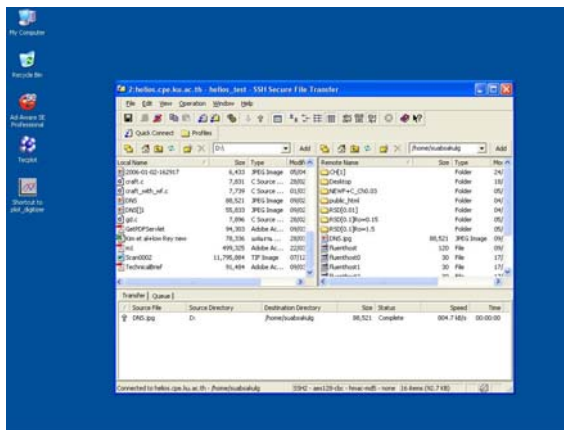
ภาพผนวกที่ ข9 แสดงขั้นตอนการโอนย้าย File ขั้นที่ 2

3. วิธีการโอนย้าย file ไปยัง Helios นั้นทำได้โดยใช้ mouser กดเลือก file ที่ต้องการค้างไว้จากนั้นลากไปไว้ที่หน้าจอฝั่งด้านขวาซึ่งเป็นส่วนของเครื่อง Helios ได้ทันที



ภาพผนวกที่ ข10 แสดงขั้นตอนการโอนย้าย File ขั้นที่ 3

4. จากตัวอย่างสามารถย้าย file ที่ชื่อ DNS ไปอยู่ที่เครื่อง Helios ได้แล้ว

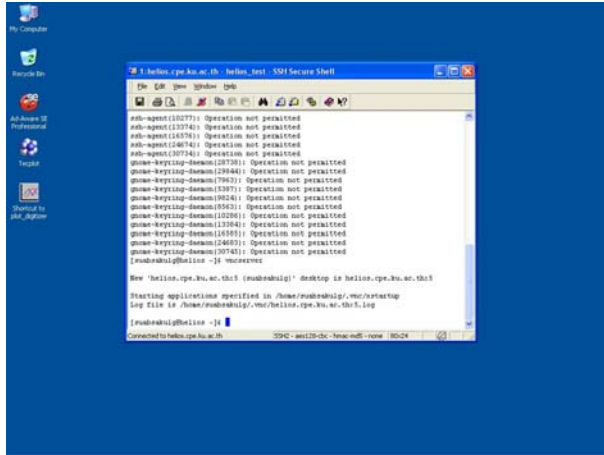


ภาพผนวกที่ ข11 แสดงขั้นตอนการโอนย้าย File ขั้นที่ 4

วิธีการเปิดใช้หน้าต่างงานเพื่อเปิดโปรแกรมต่างๆภายในเครื่อง Helios ผ่านซอฟต์แวร์

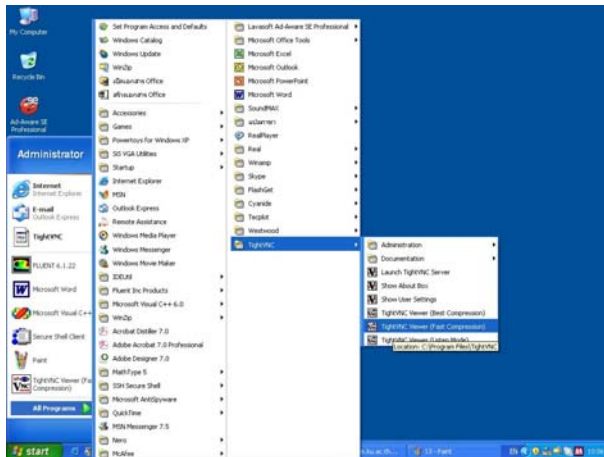
TightVNC

1. ที่หน้าจอ SecureShell พิมพ์ vncserver จะปรากฏ section ที่ผู้ใช้สามารถเข้าไปใช้ได้จากตัวอย่างได้แก่ helios.cpe.ku.ac.th:5 ดังนั้น section ที่ผู้ใช้เข้าไปได้คือ section 5



ภาพผนวกที่ ข12 แสดงขั้นตอนการใช้งานซอฟต์แวร์ TightVNC ขั้นที่ 1

2. หลังจากนั้นไปเปิดโปรแกรม TightVNC viewer (fast compression)



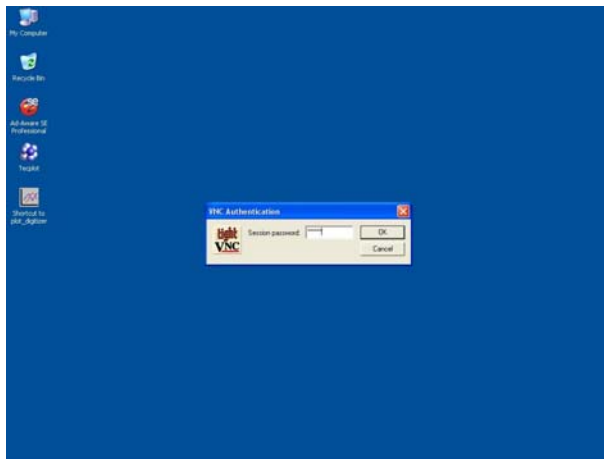
ภาพผนวกที่ ข13 แสดงขั้นตอนการใช้งานซอฟต์แวร์ TightVNC ขั้นที่ 2

3. ทำการใส่ชื่อแล้วตามด้วยหมายเลข section ดังนี้ helios.cpe.ku.ac.th:5



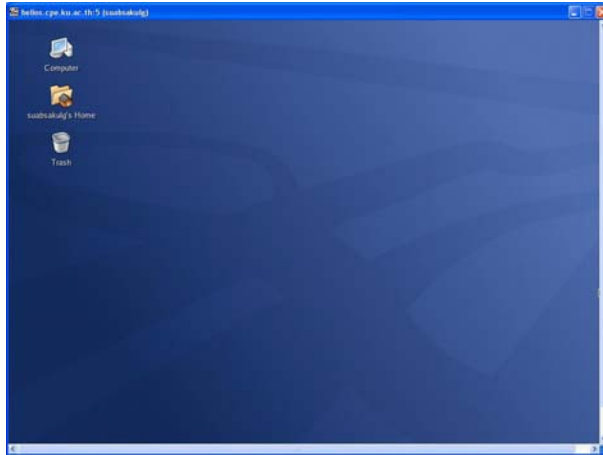
ภาพผนวกที่ ข14 แสดงขั้นตอนการใช้งานซอฟต์แวร์ TightVNC ขั้นที่ 3

4. ใส่ค่า Password ซึ่งไม่จำเป็นต้องเหมือนกับ Account ก็ได้ แต่ต้องใช้ Password นี้ในการเปิด TightVNC ตลอดทุกครั้ง



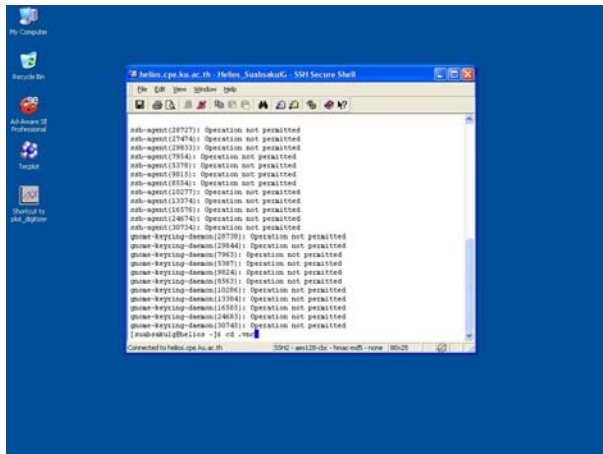
ภาพผนวกที่ ข15 แสดงขั้นตอนการใช้งานซอฟต์แวร์ TightVNC ขั้นที่ 4

5. จะได้น้ำจอปฏิบัติงานของเครื่อง Helios ซึ่งเป็นระบบ LINUX ถ้าน้ำจอของผู้ใช้ไม่เป็นแบบนี้ให้แก้ไขดังต่อไปนี้



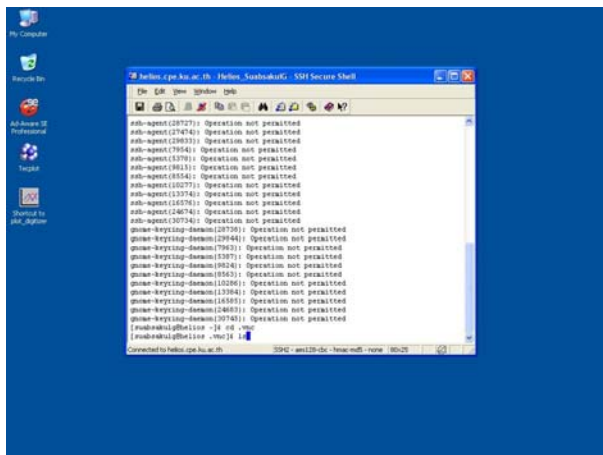
ภาพผนวกที่ ข16 แสดงขั้นตอนการใช้งานซอฟต์แวร์ TightVNC ขั้นที่ 5

6. แก้ไขดังนี้ กลับไปที่หน้าจอ Secureshell แล้วพิมพ์ cd .vnc

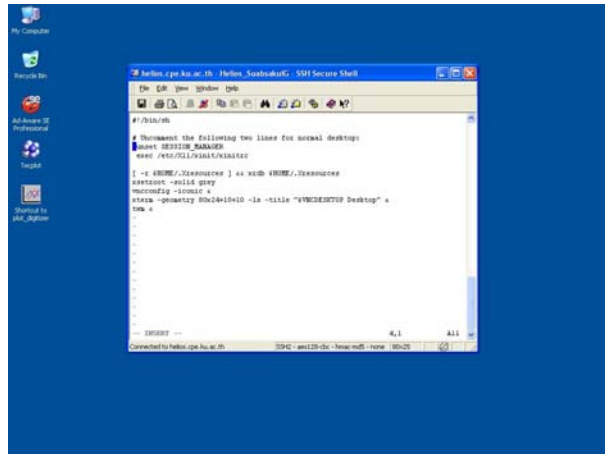


ภาพผนวกที่ ข17 แสดงขั้นตอนการใช้งานซอฟต์แวร์ TightVNC ขั้นที่ 6

7. จากนั้น พิมพ์ ls เพื่อดู File ใน Folder นี้

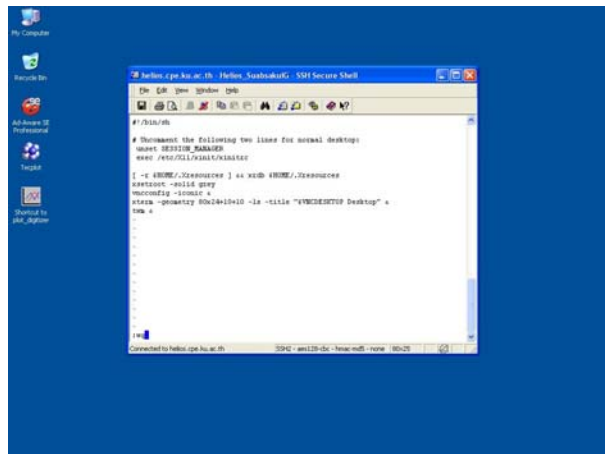


ภาพผนวกที่ ข18 แสดงขั้นตอนการใช้งานซอฟต์แวร์ TightVNC ขั้นที่ 7



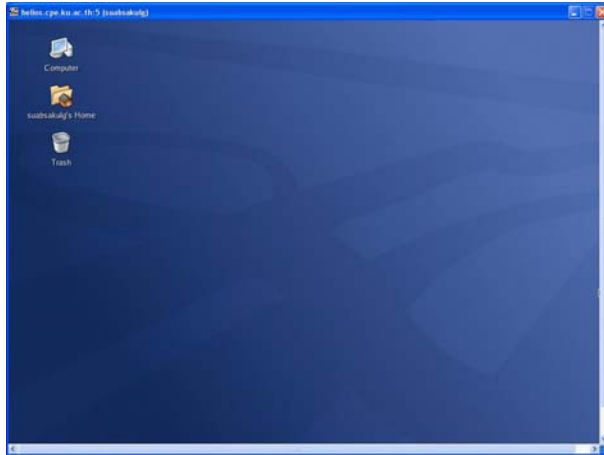
ภาพผนวกที่ ข21 แสดงขั้นตอนการใช้งานซอฟต์แวร์ TightVNC ขั้นที่ 10

11. จากนั้นกดปุ่ม Esc บนแป้นพิมพ์ แล้วพิมพ์ :wq เป็นการ save แล้วออกจาก file xstartup แล้วทำการเข้า TightVNC ใหม่ เพียงเท่านี้หน้าจอปฏิบัติการบนเครื่อง Helios ก็จะเป็นเหมือนตัวอย่างแล้ว



ภาพผนวกที่ ข22 แสดงขั้นตอนการใช้งานซอฟต์แวร์ TightVNC ขั้นที่ 11

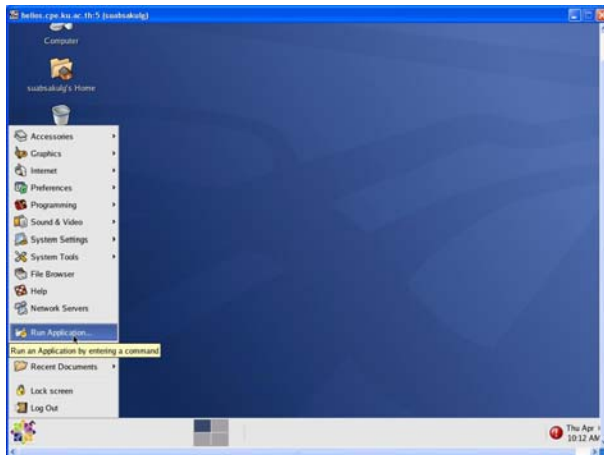
12. เมื่อเข้ามาแล้วเริ่มต้นผู้ใช้จะทำงานอยู่ที่เครื่อง frontend ของเครื่อง Helios



ภาพผนวกที่ ข23 แสดงขั้นตอนการใช้งานซอฟต์แวร์ TightVNC ขั้นที่ 12

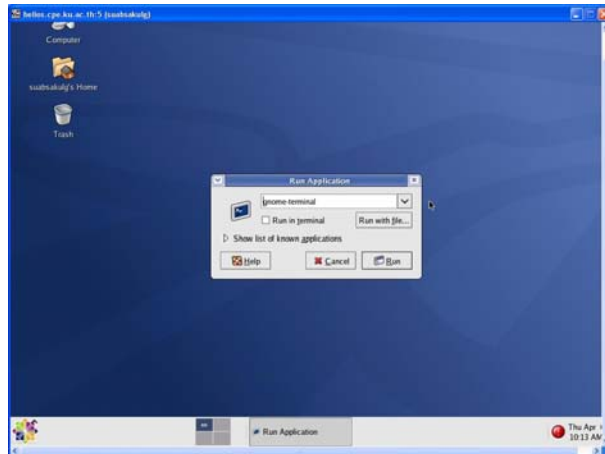
ขั้นตอนการใช้งานซอฟต์แวร์ Fluent บนเครื่อง Frontend

1. เลือก Run application.



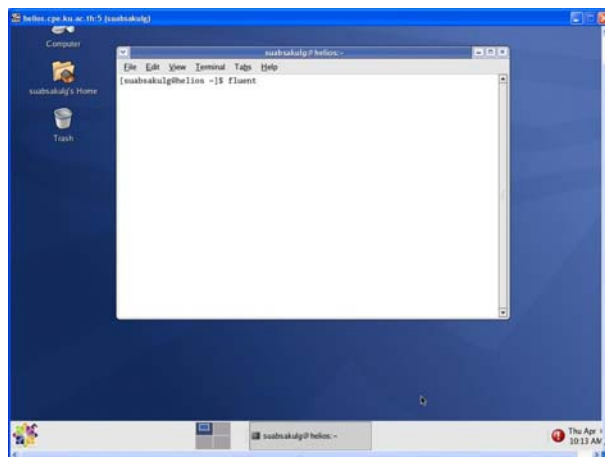
ภาพผนวกที่ ข24 แสดงขั้นตอนการใช้งานซอฟต์แวร์ Fluent บนเครื่อง Frontend ขั้นที่ 1

2. พิมพ์ `gnome-terminal` → Run



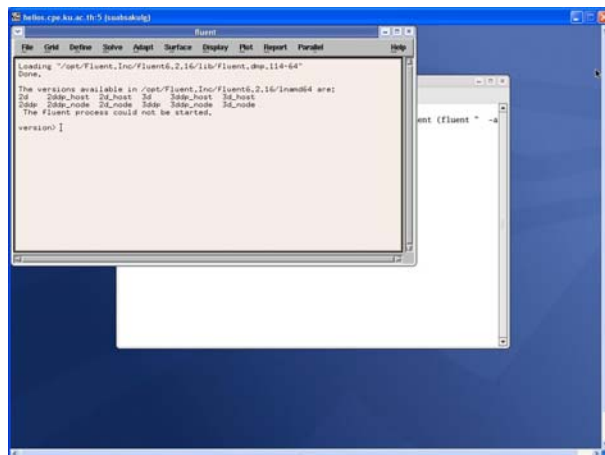
ภาพผนวกที่ ข25 แสดงขั้นตอนการใช้งานซอฟต์แวร์ Fluent บนเครื่อง Frontend ชั้นที่ 2

3. จากนั้น พิมพ์ fluent หรือ gambit



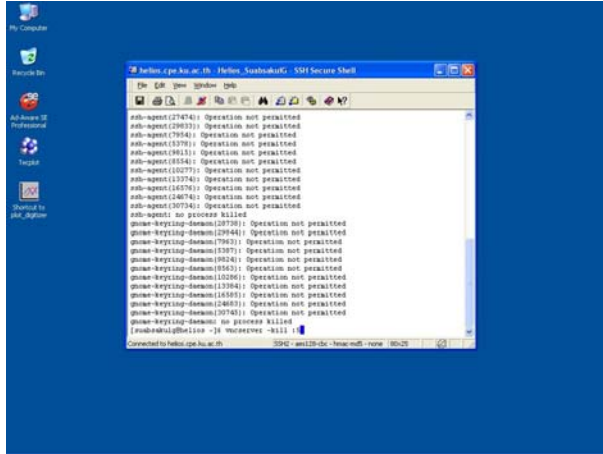
ภาพผนวกที่ ข26 แสดงขั้นตอนการใช้งานซอฟต์แวร์ Fluent บนเครื่อง Frontend ชั้นที่ 3

4. หน้าจอปฏิบัติการของ Fluent



ภาพผนวกที่ ข27 แสดงขั้นตอนการใช้งานซอฟต์แวร์ Fluent บนเครื่อง Frontend ชั้นที่ 4

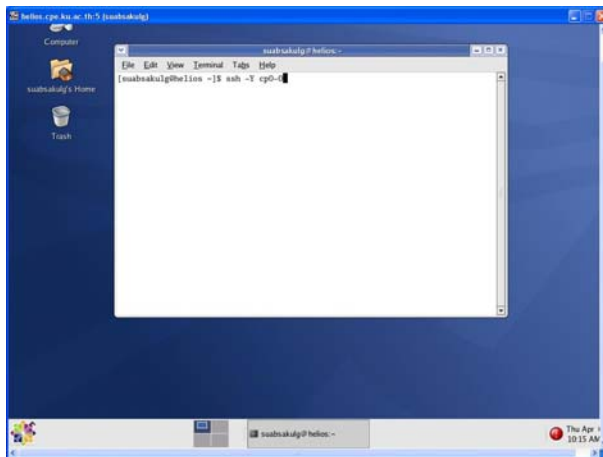
5. เมื่อเลิกใช้แล้วผู้ใช้ต้องมาปิด section ที่เปิดไว้โดยการพิมพ์คำสั่งตามด้วยหมายเลข section ดังนี้ `vncserver -kill :5`



ภาพผนวกที่ ข28 แสดงขั้นตอนการใช้งานซอฟต์แวร์ Fluent บนเครื่อง Frontend ชั้นที่ 5

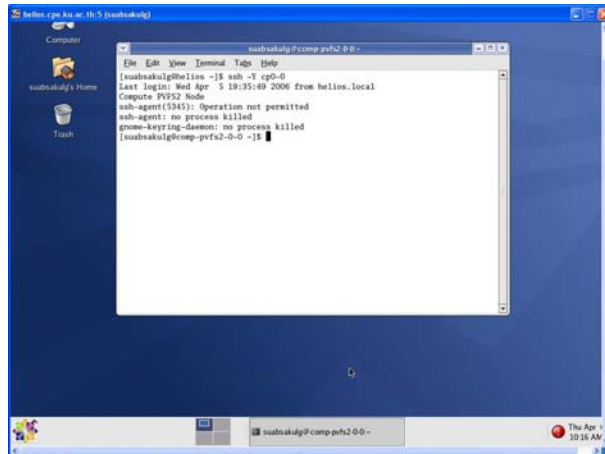
ขั้นตอนการย้ายการทำงานของ Fluent ไปที่เครื่องลูก

1. ที่หน้าจอ `genome-terminal` พิมพ์คำสั่งไปที่เครื่องลูกตามด้วยชื่อของเครื่องลูกที่ต้องการ `ssh -Y cp0-0` ใน Helios มีเครื่องลูกทั้งหมด 4 ตัวสามารถไปที่เครื่องลูกตามชื่อได้ดังต่อไปนี้ `cp0-0`, `cp0-1`, `cp0-2` และ `cp0-3`



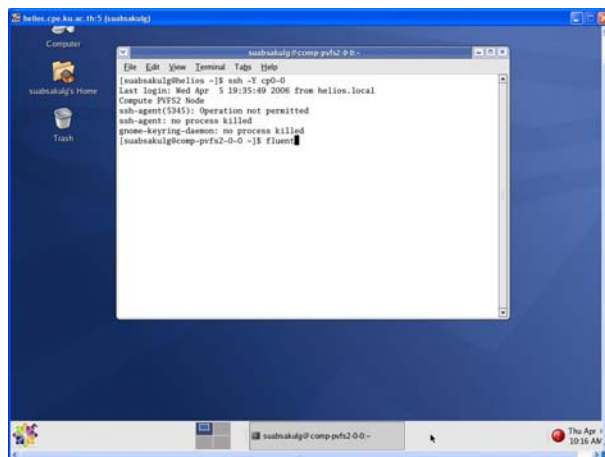
ภาพผนวกที่ ข29 แสดงขั้นตอนการย้ายการทำงานของ Fluent ชั้นที่ 1

2. จะได้น้ำจอการทำงานดังนี้



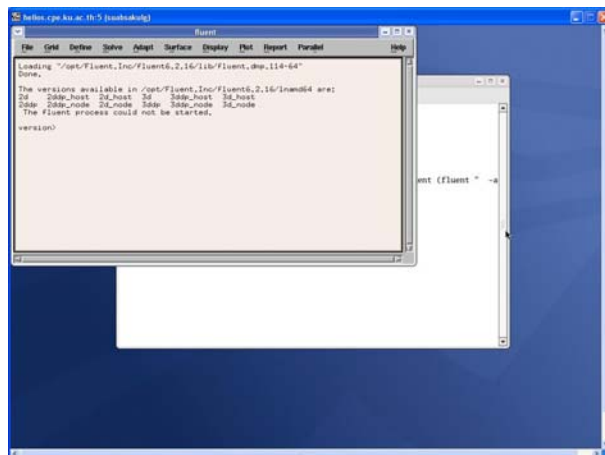
ภาพผนวกที่ ข30 แสดงขั้นตอนการย้ายการทำงานของ Fluent ขั้นที่ 2

3. จากนั้นสามารถสั่งงานใช้ Fluent หรือ gambit ได้ตามปกติ



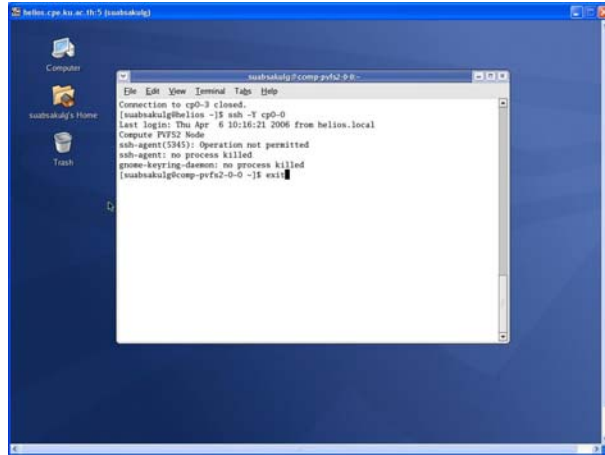
ภาพผนวกที่ ข31 แสดงขั้นตอนการย้ายการทำงานของ Fluent ขั้นที่ 3

4. หน้าจอของ Fluent



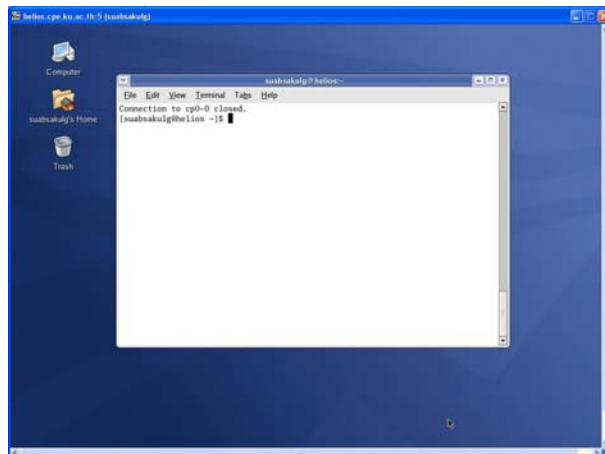
ภาพผนวกที่ ข32 แสดงขั้นตอนการย้ายการทำงานของ Fluent ขั้นที่ 4

5. เมื่อเลิกใช้ Fluent ที่เครื่องลูกต้องทำการปิด โดยพิมพ์ exit



ภาพผนวกที่ ข33 แสดงขั้นตอนการย้ายการทำงานของ Fluent ขั้นที่ 5

6. จัดการปิดเสร็จสิ้น

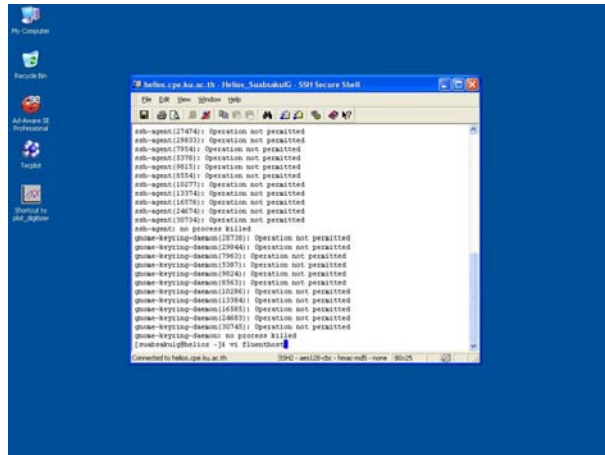


ภาพผนวกที่ ข34 แสดงขั้นตอนการย้ายการทำงานของ Fluent ขั้นที่ 6

ภาคผนวก ก คู่มือการใช้งานซอฟต์แวร์ Fluent แบบขนาน

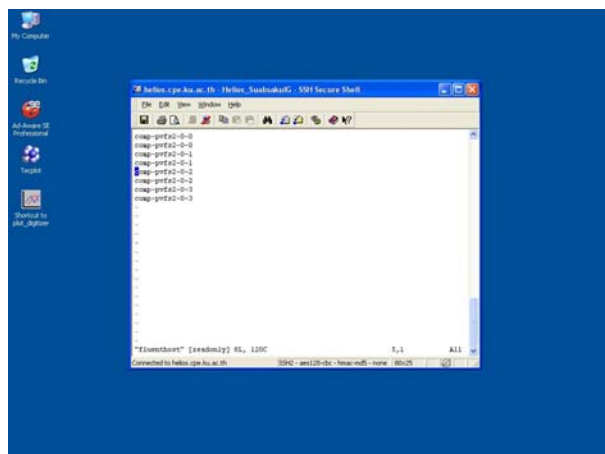
ขั้นตอนการใช้งานซอฟต์แวร์ Fluent แบบขนานบนเครื่อง Helios

1. ที่หน้าจอปฏิบัติการ SecureShell ณ ตำแหน่ง home ได้เรียกทอรัของผู้ใช้ ทำการสร้าง file ที่บอกชื่อของเครื่องลูกที่จะใช้ในการประมวลผล โดยการพิมพ์ vi fluenthost



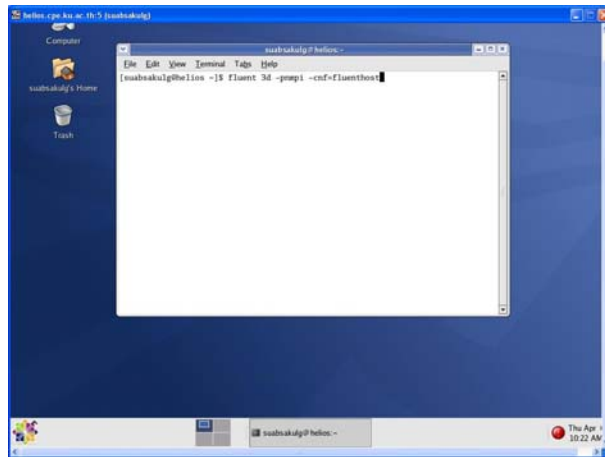
ภาพผนวกที่ ก1 แสดงขั้นตอนการใช้งานซอฟต์แวร์ Fluent แบบขนานบนเครื่อง Helios ขั้นที่ 1

2. เนื่องจากเครื่องลูกของ Helios แต่ละเครื่องมี CPU 2 ตัวดังนั้นจำนวนเครื่องลูกที่จะนำมาประมวลผลจึงมีได้สูงสุด 8 เครื่อง พิมพ์ชื่อเครื่องลูกดังกล่าว จากนั้นกด Esc แล้วตามด้วย :wq



ภาพผนวกที่ ก2 แสดงขั้นตอนการใช้งานซอฟต์แวร์ Fluent แบบขนานบนเครื่อง Helios ขั้นที่ 2

3. จากนั้นไปที่หน้าจอ `gnome-terminal` พิมพ์คำสั่ง `fluent 3d -pnmpi -cnf=fluenthost` คำสั่งแต่ละตัวมีความหมายคือ `3d` คือ งานที่ใช้คำนวณเป็นแบบ 3 มิติ ถ้าเป็น 2 มิติ ใช้ `2d` ส่วน `-pnmpi` หมายถึงการเชื่อมต่อ เครื่องลูกโดยใช้ MPI ส่วนสุดท้าย `-cnf=fluenthost` หมายถึงการกำหนดเครื่องลูกว่าจะใช้เครื่องไหนในการคำนวณบ้างกำหนดโดยสร้าง File เป็นตัวบอก



ภาพผนวกที่ ค3 แสดงขั้นตอนการใช้งานซอฟต์แวร์ Fluent แบบขนานบนเครื่อง Helios ชั้นที่ 3

สำหรับตัวอย่างการใช้นั้นเมื่อเข้าสู่โปรแกรมไปแล้วจะสามารถใช้งานเหมือนบนระบบปฏิบัติการ Window สามารถดูได้ข้างต้น

ขั้นตอนการใช้งานซอฟต์แวร์ Fluent แบบขนานบนระบบปฏิบัติการ Windows

1. ในการใช้งานต้องเป็น Windows รุ่น 2003 server เท่านั้น เลือก start → run



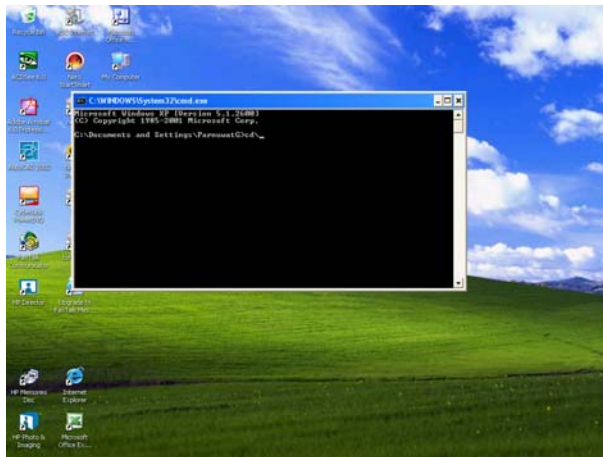
ภาพผนวกที่ ค4 แสดงขั้นตอนการใช้งานซอฟต์แวร์ Fluent แบบขนานบน Windows ชั้นที่ 1

2. พิมพ์ cmd → OK



ภาพผนวกที่ ๑5 แสดงขั้นตอนการใช้งานซอฟต์แวร์ Fluent แบบขนานบน Windows ขั้นที่ 2

3. พิมพ์ cd\ → enter



ภาพผนวกที่ ๑6 แสดงขั้นตอนการใช้งานซอฟต์แวร์ Fluent แบบขนานบน Windows ขั้นที่ 3

4. พิมพ์ cd fluent.inc → enter



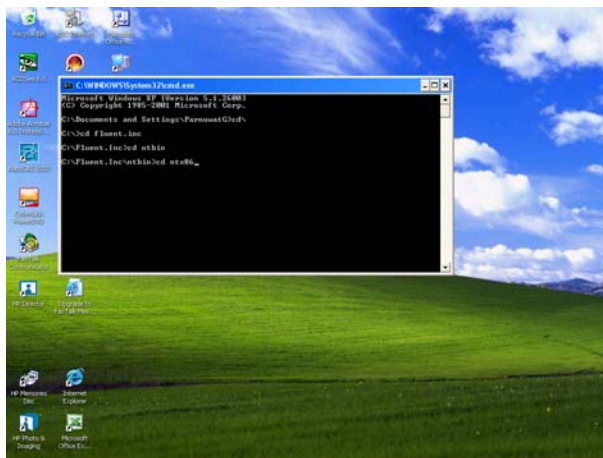
ภาพผนวกที่ ค7 แสดงขั้นตอนการใช้งานซอฟต์แวร์ Fluent แบบขนานบน Windows ขั้นที่ 4

5. พิมพ์ `cd ntbin` → enter



ภาพผนวกที่ ค8 แสดงขั้นตอนการใช้งานซอฟต์แวร์ Fluent แบบขนานบน Windows ขั้นที่ 5

6. พิมพ์ `cd ntx86` → enter



ภาพผนวกที่ ค9 แสดงขั้นตอนการใช้งานซอฟต์แวร์ Fluent แบบขนานบน Windows ขั้นที่ 6

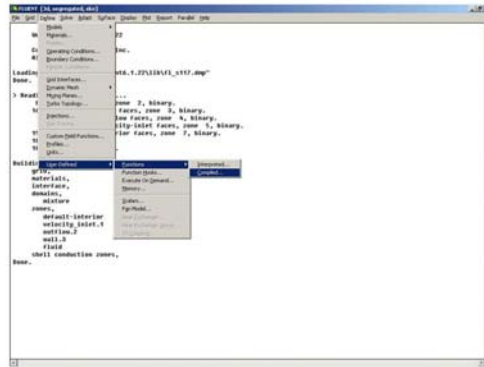
7. พิมพ์ `Fluent 3d -t3 -cnf=host.txt -path\\computer1\fluent.inc`

3d หมายถึงมิติของงานที่จะนำมาคำนวณ

-t3 หมายถึงจำนวนเครื่องที่ใช้คำนวณ (เครื่องแม่ร่วมกับเครื่องลูก)

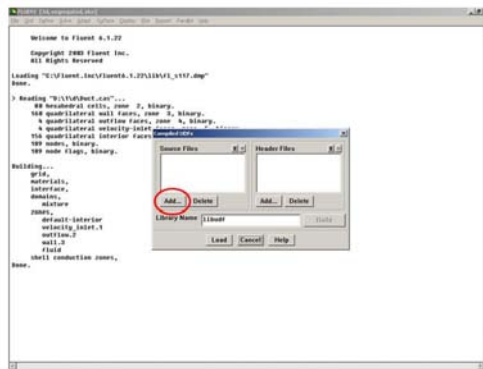
host.txt หมายถึงต้องกำหนดชื่อของเครื่องคอมพิวเตอร์ที่จะมาใช้คำนวณ

computer1\fluent.inc หมายถึงกำหนดตำแหน่งของซอฟต์แวร์ Fluent ในเครื่องแม่



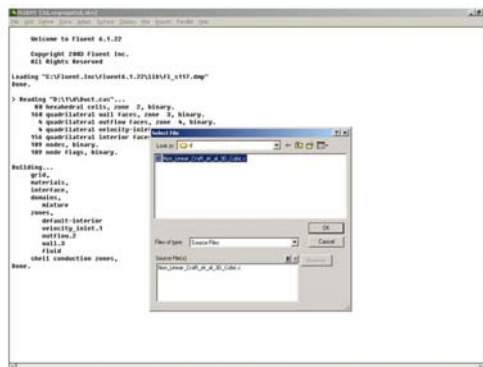
CML-ME-KU **เลือก Define --> User-defined --> Functions --> Compiled** 4

ภาพผนวกที่ 3 แสดงขั้นตอนการใช้ฟังก์ชันยูติโอพชั่นที่ 3



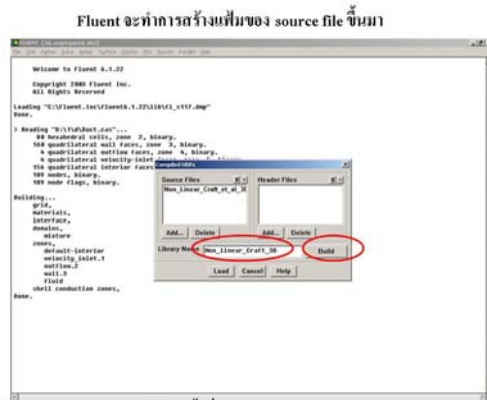
CML-ME-KU **เลือก Source file --> Add** 5

ภาพผนวกที่ 4 แสดงขั้นตอนการใช้ฟังก์ชันยูติโอพชั่นที่ 4



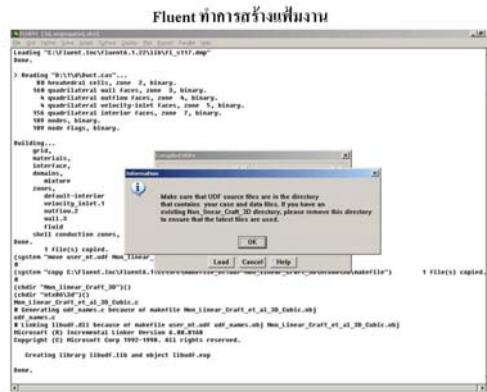
CML-ME-KU **เลือก source file ที่ต้องการ --> OK** 6

ภาพผนวกที่ 5 แสดงขั้นตอนการใช้ฟังก์ชันยูติโอพชั่นที่ 5



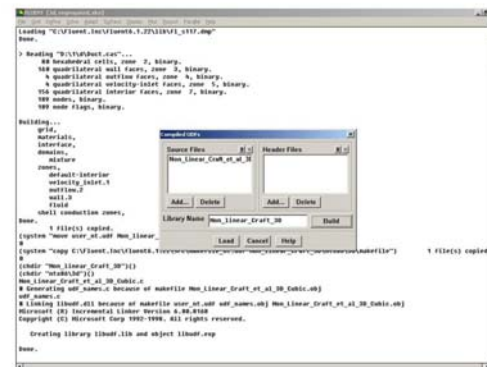
CML-ME-KU ทำการตั้งชื่อเพิ่มการทำงาน --> Build 7

ภาพผนวกที่ 6 แสดงขั้นตอนการใช้ฟังก์ชันยูตีลิตี้ที่ 6



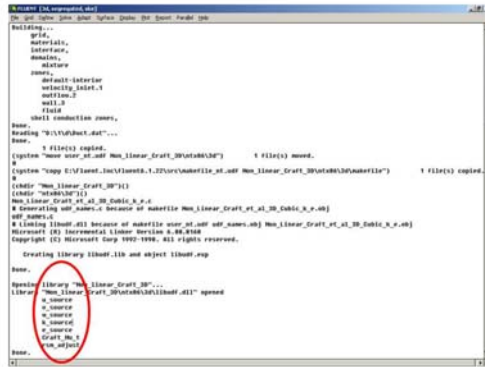
CML-ME-KU เมื่อก OK 8

ภาพผนวกที่ 7 แสดงขั้นตอนการใช้ฟังก์ชันยูตีลิตี้ที่ 7



CML-ME-KU เมื่อก Load เพื่อทำการใช้ชุดคำสั่งย่อยในเพิ่มงาน 9

ภาพผนวกที่ 8 แสดงขั้นตอนการใช้ฟังก์ชันยูตีลิตี้ที่ 8



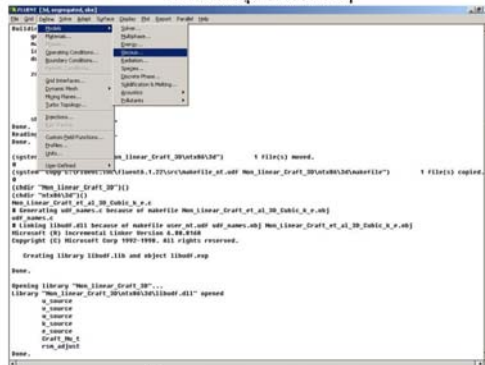
CML-ME-KU

Fluent แสดงชุดคำสั่งย่อยที่ถูกสร้างใหม่

10

ภาพผนวกที่ 9 แสดงขั้นตอนการใช้ฟังก์ชันยูตีเฟชั่นที่ 9

ทำการติดตั้งชุดคำสั่งย่อยต่างๆ



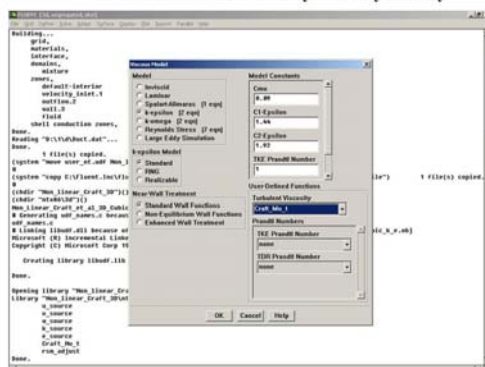
CML-ME-KU

เลือก Define --> Models --> Viscous

11

ภาพผนวกที่ 10 แสดงขั้นตอนการใช้ฟังก์ชันยูตีเฟชั่นที่ 10

ทำการเลือก Turbulent Viscosity หรือ Eddy Viscosity

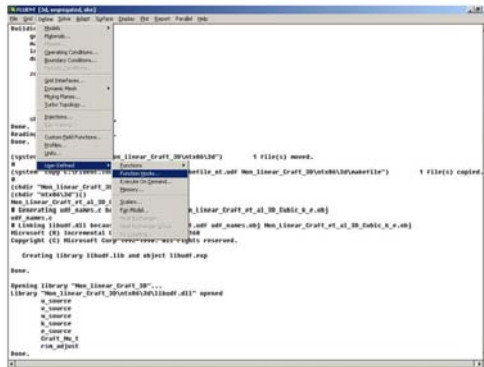


CML-ME-KU

เลือก Turbulent Viscosity --> Craft_Mu_t

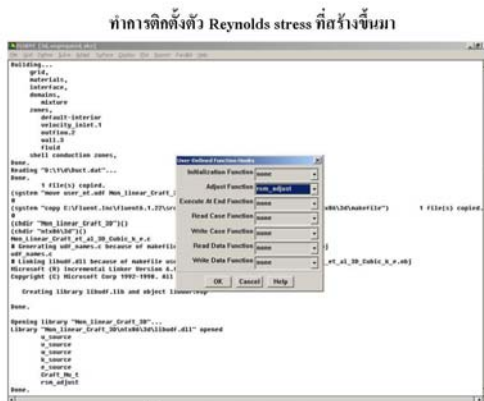
12

ภาพผนวกที่ 11 แสดงขั้นตอนการใช้ฟังก์ชันยูตีเฟชั่นที่ 11



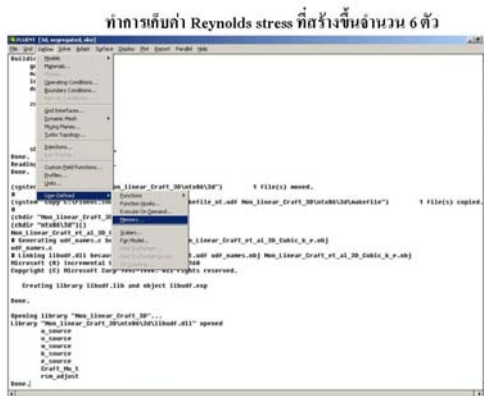
CML-ME-KU **เลือก Define --> User-Defined --> Function Hooks** 13

ภาพผนวกที่ 12 แสดงขั้นตอนการใช้ฟังก์ชันยูติออฟชั่นที่ 12



CML-ME-KU **เลือก Adjust function --> rsm_adjust** 14

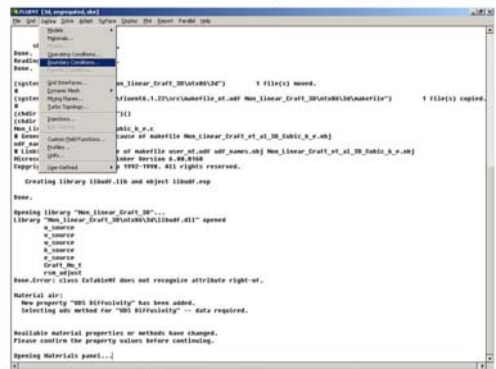
ภาพผนวกที่ 13 แสดงขั้นตอนการใช้ฟังก์ชันยูติออฟชั่นที่ 13



CML-ME-KU **เลือก Define --> User-Defined --> Memory** 15

ภาพผนวกที่ 14 แสดงขั้นตอนการใช้ฟังก์ชันยูติออฟชั่นที่ 14

ทำการใส่ source term ที่เกิดจาก anisotropy tensor ลงใน transport equation

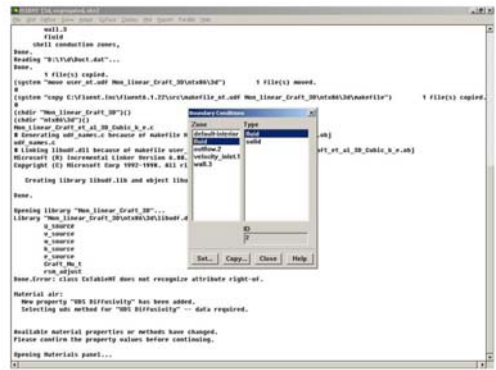


CML-ME-KU

เลือก Define --> Boundary conditions

19

ภาพผนวกที่ 18 แสดงขั้นตอนการใช้ฟังก์ชันยูตีเฟชั่นที่ 18

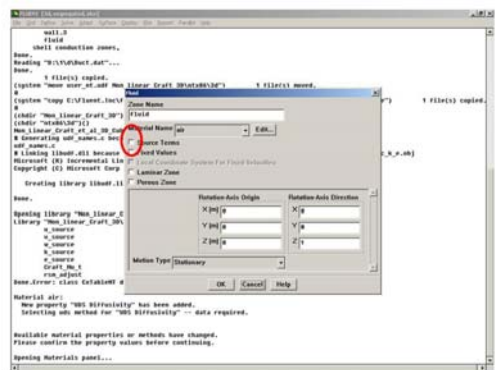


CML-ME-KU

เลือก fluid --> set

20

ภาพผนวกที่ 19 แสดงขั้นตอนการใช้ฟังก์ชันยูตีเฟชั่นที่ 19

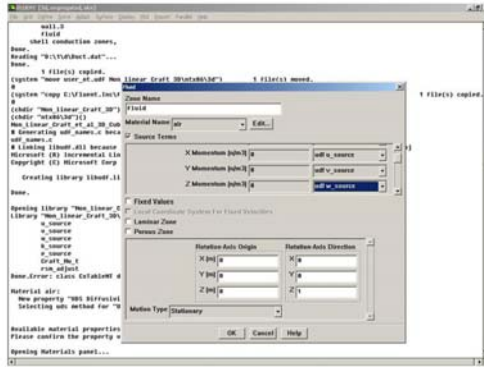


CML-ME-KU

เลือก source term

21

ภาพผนวกที่ 20 แสดงขั้นตอนการใช้ฟังก์ชันยูตีเฟชั่นที่ 20

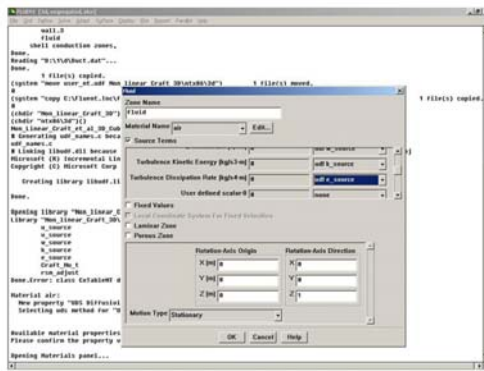


CML-ME-KU

ทำการใส่ source term ลงใน transport equation

22

ภาพผนวกที่ 21 แสดงขั้นตอนการใช้ฟังก์ชันยูติลิตี้ที่ 21

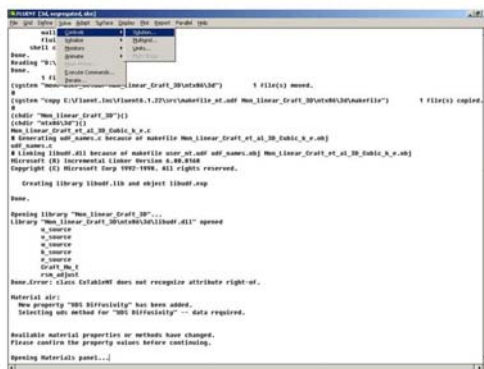


CML-ME-KU

ทำการใส่ source term ลงใน transport equation --> OK

23

ภาพผนวกที่ 22 แสดงขั้นตอนการใช้ฟังก์ชันยูติลิตี้ที่ 22

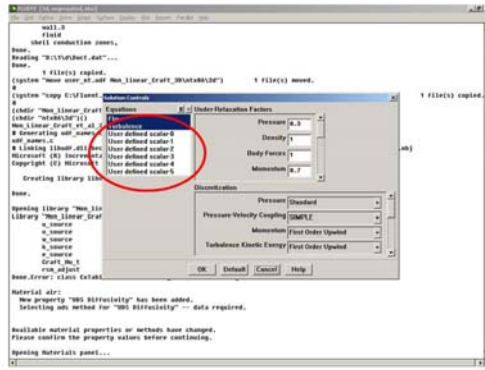


CML-ME-KU

เลือก Solve ---> Controls ---> Solution

24

ภาพผนวกที่ 23 แสดงขั้นตอนการใช้ฟังก์ชันยูติลิตี้ที่ 23

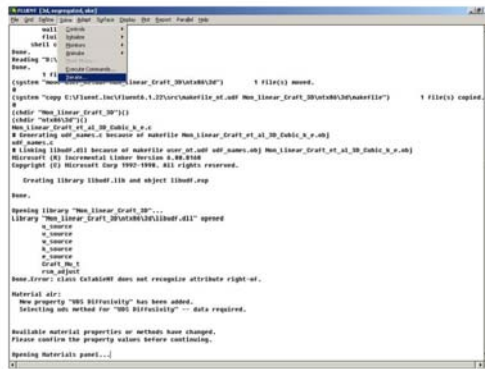


CML-ME-KU

นิยามตัวของ User defined scalar 000

25

ภาพผนวกที่ 24 แสดงขั้นตอนการใช้ฟังก์ชันยูตีเอฟชั่นที่ 24

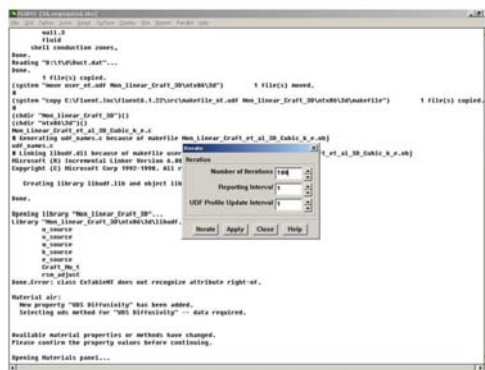


CML-ME-KU

เลือก Solve ---> Iterate

26

ภาพผนวกที่ 25 แสดงขั้นตอนการใช้ฟังก์ชันยูตีเอฟชั่นที่ 25



CML-ME-KU

เลือก 100 ---> OK

27

ภาพผนวกที่ 26 แสดงขั้นตอนการใช้ฟังก์ชันยูตีเอฟชั่นที่ 26

ภาคผนวก จ โปรแกรมของฟังก์ชันยูดีเอฟของแบบจำลองความปั่นป่วนชนิดไม่เชิงเส้น

โปรแกรมของฟังก์ชันยูดีเอฟสำหรับแบบจำลองความปั่นป่วนชนิดไม่เชิงเส้น แบบ low Reynolds number ของ Craft et al. (1996)

```
// Non Linear Craft et al 3D Cubic with k and epsilon source
//by Suabsakul Gururatana
//8 Feb 2006
#include "udf.h"
#include "math.h"
/* Turbulence model constants */
const real C_1=-0.1;
const real C_2=0.1;
const real C_3=0.26;
const real C_5=0.0;
// User-defined scalars : Define Reynolds stress
enum
{
UU,
VV,
WW,
UV,
UW,
VW
};
// Define source in x momentum equation
DEFINE_SOURCE(u_source, c, t, dS, eqn)
{
real source;
dS[eqn]=0.0;
source= - C_R(c,t) * ( C_UDSI_G(c,t,UU)[0] + C_UDSI_G(c,t,UV)[1]+C_UDSI_G(c,t,UW)[2] );
return source;
}
// Define source in y momentum equation
DEFINE_SOURCE(v_source, c, t, dS, eqn)
```

```

{
real source;
dS[eqn]= 0.0;
source = - C_R(c,t)*(C_UDSI_G(c,t,UV)[0]+ C_UDSI_G(c,t,VV)[1] + C_UDSI_G(c,t,VW)[2] );
return source;
}

// Define source in z momentun equation
DEFINE_SOURCE(w_source, c, t, dS, eqn)
{
real source;
dS[eqn]= 0.0;
source= -C_R(c,t)*(C_UDSI_G(c,t,UW)[0] + C_UDSI_G(c,t,VW)[1] + C_UDSI_G(c,t,WW)[2] );
return source;
}

DEFINE_SOURCE(k_source, c, t, dS, eqn)
{
real prod;
dS[eqn]= 0.0;
prod=-C_R(c,t)*(C_UDSI(c,t,UU)*C_DUDX(c,t)+C_UDSI(c,t,UV)*C_DVDX(c,t)+
C_UDSI(c,t,UW)*C_DWDX(c,t)+C_UDSI(c,t,UV)*C_DUDY(c,t)+C_UDSI(c,t,VV)*C_DVDY(c,t)+C_UDSI(c,t,VW)*C_DWD
Y(c,t)+C_UDSI(c,t,UW)*C_DUDZ(c,t)+C_UDSI(c,t,VW)*C_DVDZ(c,t) + C_UDSI(c,t,WW)*C_DWDZ(c,t));
return prod;
}

DEFINE_SOURCE(e_source, c, t, dS, eqn)
{
real prod;
real c_1e =1.44;
real c_2e =1.92;
real k = C_K(c,t);
real e = C_D(c,t);
real u = C_MU_L(c,t);
real p = C_R(c,t);
real v, Ret,fe2,cc;

v = u/p;
Ret=k*k/(e*v);

```

```

dS[eqn]= 0.0;
prod= - c_1e*C_D(c,t)/C_K(c,t)* C_R(c,t)
* ( C_UDSI(c,t,UU)*C_DUDX(c,t) +
C_UDSI(c,t,UV)*C_DVDX(c,t) + C_UDSI(c,t,UW)*C_DWDX(c,t)+
C_UDSI(c,t,UV)*C_DUDY(c,t) +
C_UDSI(c,t,VV)*C_DVDY(c,t) + C_UDSI(c,t,VW)*C_DWDY(c,t)+
C_UDSI(c,t,UW)*C_DUDZ(c,t) +
C_UDSI(c,t,VW)*C_DVDZ(c,t) + C_UDSI(c,t,WW)*C_DWDZ(c,t)
);
fe2=1.0- 0.3*(exp(-Ret*Ret));
return prod- (c_2e*C_R(c,t)*e*e/k)+ (fe2*c_2e*C_R(c,t)*e*e/k );
}
// Define Eddy viscosity
DEFINE_TURBULENT_VISCOSITY(Craft_Mu_t,c,t)
{
real S,W,c_mu,T,mu_t;
real S11, S12, S13, S21, S22, S23, S31, S32, S33;
real W11, W12, W13, W21, W22, W23, W31, W32, W33;
// Define variable
real u = C_MU_L(c,t); //laminar viscosity
real p = C_R(c,t); //density
real v, Ret,fmu;
real k = C_K(c,t); //Turbulent kinetic energy(k)
real e = C_D(c,t); //Dissipation rate (epsilon)
T=C_K(c,t)/C_D(c,t); // k/e
// Define stress tensor
S11 = 0.5*( C_DUDX(c,t)+C_DUDX(c,t) );
S12 = 0.5*( C_DUDY(c,t)+C_DVDX(c,t) );
S13 = 0.5*( C_DUDZ(c,t)+C_DWDX(c,t) );
S21 = 0.5*( C_DVDX(c,t)+C_DUDY(c,t) );
S22 = 0.5*( C_DVDY(c,t)+C_DVDY(c,t) );
S23 = 0.5*( C_DVDZ(c,t)+C_DWDY(c,t) );
S31 = 0.5*( C_DWDX(c,t)+C_DUDZ(c,t) );
S32 = 0.5*( C_DWDY(c,t)+C_DVDZ(c,t) );
S33 = 0.5*( C_DWDZ(c,t)+C_DWDZ(c,t) );
S=T*sqrt( 2*(S11*S11+S12*S12+S13*S13+S21*S21+S22*S22+S23*S23+S31*S31+S32*S32+S33*S33) );

```

```

// Define vorticity tensor

W11 = 0.5*( C_DUDX(c,t)-C_DUDX(c,t) );
W12 = 0.5*( C_DUDY(c,t)-C_DVDX(c,t) );
W13 = 0.5*( C_DUDZ(c,t)-C_DWDX(c,t) );
W21 = 0.5*( C_DVDX(c,t)-C_DUDY(c,t) );
W22 = 0.5*( C_DVDY(c,t)-C_DVDY(c,t) );
W23 = 0.5*( C_DVDZ(c,t)-C_DWDY(c,t) );
W31 = 0.5*( C_DWDX(c,t)-C_DUDZ(c,t) );
W32 = 0.5*( C_DWDY(c,t)-C_DVDZ(c,t) );
W33 = 0.5*( C_DWDZ(c,t)-C_DWDZ(c,t) );

W=T*sqrt( 2*(W11*W11+W12*W12+W13*W13+W21*W21+W22*W22+W23*W23+W31*W31+W32*W32+W33*W33) );

// Define kinematic viscosity

v = u/p;

// Define turbulent Reynolds number

Ret=k*k/(e*v);

// Define Constant Cmu

c_mu=(0.3/(1.0+(0.35* MAX(S,W) ))*(1.0-exp(-0.36/(exp(-0.75* MAX(S,W) )))));

// Define Damping function of Craft et al.(1996)

fmu=(1.0-exp(-pow((Ret/90.),0.5)-pow((Ret/400.),2) ));

// Define Eddy viscosity

mu_t=c_mu*T*C_K(c,t);

return mu_t;
}

DEFINE_ADJUST(rsm_adjust,domain)
{
Thread *t;

cell_t c;

real X;

real mu_t, c_mu;

real S11, S12, S13, S21, S22, S23, S31, S32, S33;

real W11, W12, W13, W21, W22, W23, W31, W32, W33;

real S, W, Sij, Wij;

real C_4, C_6, C_7;

real P11, P22, P33, Pkk;

real tau_w, u_tauw, u_star, y_star, Gk, u_mag;

real u ;

```

```

real p ;
real v, Ret, fmu;
real k ;
real e ;
/* Set the turbulent viscosity */
thread_loop_c(t, domain)
if (FLUID_THREAD_P(t))
{
begin_c_loop(c, t)
{
// Define variable
u= C_MU_L(c, t); //laminar viscosity
p= C_R(c, t);      //density
k= C_K(c, t);      //Turbulent kinetic energy(k)
e= C_D(c, t);      //Dissipation rate (epsilon)
X=C_K(c, t)/C_D(c, t); // k/e

// Define stress tensor
S11 = 0.5*( C_DUDX(c, t)+C_DUDX(c, t) );
S12 = 0.5*( C_DUDY(c, t)+C_DVDX(c, t) );
S13 = 0.5*( C_DUDZ(c, t)+C_DWDX(c, t) );
S21 = 0.5*( C_DVDX(c, t)+C_DUDY(c, t) );
S22 = 0.5*( C_DVDY(c, t)+C_DVDY(c, t) );
S23 = 0.5*( C_DVDZ(c, t)+C_DWDY(c, t) );
S31 = 0.5*( C_DWDX(c, t)+C_DUDZ(c, t) );
S32 = 0.5*( C_DWDY(c, t)+C_DVDZ(c, t) );
S33 = 0.5*( C_DWDZ(c, t)+C_DWDZ(c, t) );

S=X*sqrt( 2*(S11*S11+S12*S12+S13*S13+S21*S21+S22*S22+S23*S23+S31*S31+S32*S32+S33*S33) );

// Define vorticity tensor
W11 = 0.5*( C_DUDX(c, t)-C_DUDX(c, t) );
W12 = 0.5*( C_DUDY(c, t)-C_DVDX(c, t) );
W13 = 0.5*( C_DUDZ(c, t)-C_DWDX(c, t) );
W21 = 0.5*( C_DVDX(c, t)-C_DUDY(c, t) );
W22 = 0.5*( C_DVDY(c, t)-C_DVDY(c, t) );
W23 = 0.5*( C_DVDZ(c, t)-C_DWDY(c, t) );
W31 = 0.5*( C_DWDX(c, t)-C_DUDZ(c, t) );
W32 = 0.5*( C_DWDY(c, t)-C_DVDZ(c, t) );

```

```

W33 = 0.5*( C_DWDZ(c,t)-C_DWDZ(c,t) );

W=X*sqrt( 2*(W11*W11+W12*W12+W13*W13+W21*W21+W22*W22+W23*W23+W31*W31+W32*W32+W33*W33) );

// Define kinematic viscosity
v = u/p;

// Define turbulent Reynolds number
Ret=k*k/(e*v);

// Define Constant Cmu
c_mu=(0.3/(1.0+(0.35* MAX(S,W) ))*(1.0-exp(-0.36/(exp(-0.75* MAX(S,W) )))));

// Define Damping function of Craft et al.(1996)
fmu=(1.0-exp(-pow((Ret/90.),0.5)-pow((Ret/400.),2) ));

// Define Eddy viscosity
mu_t=c_mu*fmu*C_K(c,t)*C_K(c,t)*C_D(c,t);

// Define constant of Craft et al.(1996)
C_4=-10.0*SQR(c_mu);
C_6=-5.0*SQR(c_mu);
C_7=5.0*SQR(c_mu);

// Define tensor index = SklSkI
Sij=S11*S11+S12*S12+S13*S13+S21*S21+S22*S22+S23*S23+S31*S31+S32*S32+S33*S33;

// Define tensor index = WklWkl
Wij=W11*W11+W12*W12+W13*W13+W21*W21+W22*W22+W23*W23+W31*W31+W32*W32+W33*W33;

//*****//
//***** IMPORTANT define only anisotropy tensor *****//
//***** and multiply k in the Reynolds stress *****//
//***** anisotropy tensor*****//
//*****//
//*****//

// Define anisotropy tensor of normal Reynolds stress
C_UDSI(c,t,UU)=

C_1*mu_t*X* (S11*S11+S12*S12+S13*S13-1./3.*Sij)
+ 2.*C_2*mu_t*X* (W12*S12+W13*S13)
+ C_3*mu_t*X* (W12*W12+W13*W13-1./3.*Wij)
-2.*C_4*mu_t*X*X*
(W12*(S11*S12+S12*S22+S13*S23)+W13*(S11*S13+S12*S23+S13*S33))
+ C_6*mu_t*X*X* (S11*Sij)
+ C_7*mu_t*X*X* (S11*Wij);

```

C_UDSI(c,t,VV)=

$$\begin{aligned}
 & C_1 * \mu_t * X * (S12 * S12 + S22 * S22 + S23 * S23 - 1./3. * Sij) \\
 & + 2. * C_2 * \mu_t * X * (W23 * S23 - W12 * S12) \\
 & + C_3 * \mu_t * X * (W12 * W12 + W23 * W23 - 1./3. * Wij) \\
 & + 2. * C_4 * \mu_t * X * X * (W12 * (S11 * S12 + S12 * S22 + S13 * S23) - \\
 & W23 * (S12 * S13 + S22 * S23 + S23 * S33)) \\
 & + C_6 * \mu_t * X * X * (S22 * Sij) \\
 & + C_7 * \mu_t * X * X * (S22 * Wij);
 \end{aligned}$$

C_UDSI(c,t,WW)=

$$\begin{aligned}
 & C_1 * \mu_t * X * (S13 * S13 + S23 * S23 + S33 * S33 - 1./3. * Sij) \\
 & - 2. * C_2 * \mu_t * X * (W13 * S13 + W23 * S23) \\
 & + C_3 * \mu_t * X * (W13 * W13 + W23 * W23 - 1./3. * Wij) \\
 & + 2. * C_4 * \mu_t * X * X * \\
 & (W13 * (S11 * S13 + S12 * S23 + S13 * S33) + W23 * (S12 * S13 + S22 * S23 + S23 * S33)) \\
 & + C_6 * \mu_t * X * X * (S33 * Sij) \\
 & + C_7 * \mu_t * X * X * (S33 * Wij);
 \end{aligned}$$

// Define anisotropy tensor of shear Reynolds stress

C_UDSI(c,t,UV)=

$$\begin{aligned}
 & C_1 * \mu_t * X * (S11 * S12 + S12 * S22 + S13 * S23) \\
 & + C_2 * \mu_t * X * (W12 * (S22 - S11) + W13 * S23 + W23 * S13) \\
 & + C_3 * \mu_t * X * (W13 * W23) \\
 & + C_4 * \mu_t * X * X * (W12 * (S11 * S11 + S13 * S13 - S22 * S22 - S23 * S23) - \\
 & W13 * (S12 * S13 + S22 * S23 + S23 * S33) - W23 * (S11 * S13 + S12 * S23 + S13 * S33)) \\
 & + C_6 * \mu_t * X * X * (S12 * Sij) \\
 & + C_7 * \mu_t * X * X * (S12 * Wij);
 \end{aligned}$$

C_UDSI(c,t,UW)=

$$\begin{aligned}
 & C_1 * \mu_t * X * (S11 * S13 + S12 * S23 + S13 * S33) \\
 & + C_2 * \mu_t * X * (W13 * (S33 - S11) + W12 * S23 - W23 * S12) \\
 & - C_3 * \mu_t * X * (W12 * W23) \\
 & + C_4 * \mu_t * X * X * (W13 * (S11 * S11 + S12 * S12 - S23 * S23 - S33 * S33) - \\
 & W12 * (S11 * S13 + S22 * S23 + S23 * S33) + W23 * (S11 * S12 + S12 * S22 + S13 * S23)) \\
 & + C_6 * \mu_t * X * X * (S13 * Sij) \\
 & + C_7 * \mu_t * X * X * (S13 * Wij);
 \end{aligned}$$

```

C_UDSI(c,t,VW)=
      C_1*mu_t*X* (S12*S13+S22*S23+S23*S33)
    + C_2*mu_t*X* (W23*(S33-S22)-W12*S13-W13*S12)
    + C_3*mu_t*X* (W12*W13)
    + C_4*mu_t*X*X* (W23*(S12*S12+S22*S22-S13*S13-
S33*S33)+W12*(S11*S13+S12*S23+S13*S33)+W13*(S11*S12+S12*S22+S13*S23))
    + C_6*mu_t*X*X* (S23*Sij)
    + C_7*mu_t*X*X* (S23*Wij);

// Define memory Reynolds stress by User defined Memory
//*****//
//*****IMPORTANT define Linear and Nonlinear Term*****//
//*****//

C_UDMI(c,t,0)= 2./3.*C_K(c,t) -2.*mu_t*S11 + C_UDSI(c,t,UU);
C_UDMI(c,t,1)= 2./3.*C_K(c,t) -2.*mu_t*S22 + C_UDSI(c,t,VV);
C_UDMI(c,t,2)= 2./3.*C_K(c,t) -2.*mu_t*S33 + C_UDSI(c,t,WW);
C_UDMI(c,t,3)= -2.*mu_t*S12 + C_UDSI(c,t,UV);
C_UDMI(c,t,4)= -2.*mu_t*S13 + C_UDSI(c,t,UW);
C_UDMI(c,t,5)= -2.*mu_t*S23 + C_UDSI(c,t,VW);
}
end_c_loop(c,t)
}
}

```

โปรแกรมของฟังก์ชันยูดีเอฟสำหรับแบบจำลองความปั่นป่วนชนิดไม่เชิงเส้นแบบ low Reynolds number ของ Craft et al. (1996) ที่ใช้ damping function ของ Gibson and Dafa'Alla (1994)

```

// Non Linear Craft et al 3D Cubic +Fmu of Gibson and Dafa'Alla (1994) +k and e source
//by Suabsakul Gururatana
//8 Feb 2006
#include "udf.h"
#include "math.h"
/* Turbulence model constants */
const real C_1=-0.1;
const real C_2=0.1;
const real C_3=0.26;

```

```

const real C_5=0.0;

// User-defined scalars : Define Reynolds stress

enum
{
UU,
VV,
WW,
UV,
UW,
VW
};

// Define source in x momentum equation
DEFINE_SOURCE(u_source, c, t, dS, eqn)
{
real source;
dS[eqn]=0.0;
source= - C_R(c,t) * ( C_UDSI_G(c,t,UU)[0] + C_UDSI_G(c,t,UV)[1]+C_UDSI_G(c,t,UW)[2] );
return source;
}

// Define source in y momentum equation
DEFINE_SOURCE(v_source, c, t, dS, eqn)
{
real source;
dS[eqn]= 0.0;
source = - C_R(c,t)*(C_UDSI_G(c,t,UV)[0]+ C_UDSI_G(c,t,VV)[1] + C_UDSI_G(c,t,VW)[2] );
return source;
}

// Define source in z momentum equation
DEFINE_SOURCE(w_source, c, t, dS, eqn)
{
real source;
dS[eqn]= 0.0;
source= -C_R(c,t)*(C_UDSI_G(c,t,UW)[0] + C_UDSI_G(c,t,VW)[1] + C_UDSI_G(c,t,WW)[2]);
return source;
}

DEFINE_SOURCE(k_source, c, t, dS, eqn)

```

```

{
real prod;
dS[eqn]= 0.0;
prod=-C_R(c,t)*(C_UDSI(c,t,UU)*C_DUDX(c,t)+C_UDSI(c,t,UV)*C_DVDX(c,t)+
C_UDSI(c,t,UW)*C_DWDX(c,t)+C_UDSI(c,t,UV)*C_DUDY(c,t)+C_UDSI(c,t,VV)*C_DVDY(c,t)+C_UDSI(c,t,VW)*C_DWD
Y(c,t)+C_UDSI(c,t,UW)*C_DUDZ(c,t)+C_UDSI(c,t,VW)*C_DVDZ(c,t) + C_UDSI(c,t,WW)*C_DWDZ(c,t));
return prod;
}
DEFINE_SOURCE(e_source, c, t, dS, eqn)
{
real prod;
real c_1e=1.44;
real c_2e=1.92;
real k = C_K(c,t);
real e = C_D(c,t);
real u = C_MU_L(c,t);
real p = C_R(c,t);
real v, Ret,fe2,cc;
v = u/p;
Ret=k*k/(e*v);
dS[eqn]= 0.0;
prod= - c_1e*C_D(c,t)/C_K(c,t)* C_R(c,t)
* ( C_UDSI(c,t,UU)*C_DUDX(c,t) +
C_UDSI(c,t,UV)*C_DVDX(c,t) + C_UDSI(c,t,UW)*C_DWDX(c,t)
+ C_UDSI(c,t,UV)*C_DUDY(c,t) +
C_UDSI(c,t,VV)*C_DVDY(c,t) + C_UDSI(c,t,VW)*C_DWDY(c,t)
+ C_UDSI(c,t,UW)*C_DUDZ(c,t) +
C_UDSI(c,t,VW)*C_DVDZ(c,t) + C_UDSI(c,t,WW)*C_DWDZ(c,t)
);
fe2=1.0- 0.3*(exp(-Ret*Ret));
return prod- (c_2e*C_R(c,t)*e*e/k)+( fe2*c_2e*C_R(c,t)*e*e/k );
}

// Define Eddy viscosity
DEFINE_TURBULENT_VISCOSITY(Craft_Mu_t,c,t)
{

```

```

real S,W,c_mu,T,mu_t;
real S11, S12, S13, S21, S22, S23, S31, S32, S33;
real W11, W12, W13, W21, W22, W23, W31, W32, W33;
// Define variable
real u = C_MU_L(c,t); //laminar viscosity
real p = C_R(c,t); //density
real v, Ret, fmu;
real k = C_K(c,t); //Turbulent kinetic energy(k)
real e = C_D(c,t); //Dissipation rate (epsilon)
T=C_K(c,t)/C_D(c,t); // k/e
// Define stress tensor
S11 = 0.5*( C_DUDX(c,t)+C_DUDX(c,t) );
S12 = 0.5*( C_DUDY(c,t)+C_DVDX(c,t) );
S13 = 0.5*( C_DUDZ(c,t)+C_DWDX(c,t) );
S21 = 0.5*( C_DVDX(c,t)+C_DUDY(c,t) );
S22 = 0.5*( C_DVDY(c,t)+C_DVDY(c,t) );
S23 = 0.5*( C_DVDZ(c,t)+C_DWDY(c,t) );
S31 = 0.5*( C_DWDX(c,t)+C_DUDZ(c,t) );
S32 = 0.5*( C_DWDY(c,t)+C_DVDZ(c,t) );
S33 = 0.5*( C_DWDZ(c,t)+C_DWDZ(c,t) );
S=T*sqrt( 2*(S11*S11+S12*S12+S13*S13+S21*S21+S22*S22+S23*S23+S31*S31+S32*S32+S33*S33) );
// Define vorticity tensor
W11 = 0.5*( C_DUDX(c,t)-C_DUDX(c,t) );
W12 = 0.5*( C_DUDY(c,t)-C_DVDX(c,t) );
W13 = 0.5*( C_DUDZ(c,t)-C_DWDX(c,t) );
W21 = 0.5*( C_DVDX(c,t)-C_DUDY(c,t) );
W22 = 0.5*( C_DVDY(c,t)-C_DVDY(c,t) );
W23 = 0.5*( C_DVDZ(c,t)-C_DWDY(c,t) );
W31 = 0.5*( C_DWDX(c,t)-C_DUDZ(c,t) );
W32 = 0.5*( C_DWDY(c,t)-C_DVDZ(c,t) );
W33 = 0.5*( C_DWDZ(c,t)-C_DWDZ(c,t) );
W=T*sqrt( 2*(W11*W11+W12*W12+W13*W13+W21*W21+W22*W22+W23*W23+W31*W31+W32*W32+W33*W33) );
// Define kinematic viscosity
v = u/p;
// Define turbulent Reynolds number
Ret=k*k/(e*v);

```

```

// Define Constant Cmu
c_mu=(0.3/(1.0+(0.35* MAX(S,W )))*(1.0-exp(-0.36/(exp(-0.75* MAX(S,W )))));

// Define Damping function of Gibson and Dafa'Alla (1994)
fmu= exp(-6.0/((1.0+(Ret/50.0))*(1.0+(Ret/50.0))))*(1.0+(3.0*exp(-Ret/10.0)));

// Define Eddy viscosity
mu_t=c_mu*T*C_K(c,t);

return mu_t;
}

DEFINE_ADJUST(rsm_adjust,domain)
{
Thread *t;
cell_t c;
real X;
real mu_t, c_mu;
real S11, S12, S13, S21, S22, S23, S31, S32, S33;
real W11, W12, W13, W21, W22, W23, W31, W32, W33;
real S, W, Sij, Wij;
real C_4, C_6, C_7;
real P11, P22, P33, Pkk;
real tau_w, u_tauw, u_star, y_star, Gk, u_mag;

real u ;
real p ;
real v, Ret,fmu;
real k ;
real e ;

/* Set the turbulent viscosity */
thread_loop_c(t,domain)
if (FLUID_THREAD_P(t))
{
begin_c_loop(c,t)
{
// Define variable
u= C_MU_L(c,t); //laminar viscosity
p= C_R(c,t); //density
k= C_K(c,t); //Turbulent kinetic energy(k)
e= C_D(c,t); //Dissipation rate (epsilon)

```

```

X=C_K(c,t)/C_D(c,t); // k/e

// Define stress tensor

S11 = 0.5*( C_DUDX(c,t)+C_DUDX(c,t) );
S12 = 0.5*( C_DUDY(c,t)+C_DVDX(c,t) );
S13 = 0.5*( C_DUDZ(c,t)+C_DWDX(c,t) );
S21 = 0.5*( C_DVDX(c,t)+C_DUDY(c,t) );
S22 = 0.5*( C_DVDY(c,t)+C_DVDY(c,t) );
S23 = 0.5*( C_DVDZ(c,t)+C_DWDY(c,t) );
S31 = 0.5*( C_DWDX(c,t)+C_DUDZ(c,t) );
S32 = 0.5*( C_DWDY(c,t)+C_DVDZ(c,t) );
S33 = 0.5*( C_DWDZ(c,t)+C_DWDZ(c,t) );

S=X*sqrt( 2*(S11*S11+S12*S12+S13*S13+S21*S21+S22*S22+S23*S23+S31*S31+S32*S32+S33*S33) );

// Define vorticity tensor

W11 = 0.5*( C_DUDX(c,t)-C_DUDX(c,t) );
W12 = 0.5*( C_DUDY(c,t)-C_DVDX(c,t) );
W13 = 0.5*( C_DUDZ(c,t)-C_DWDX(c,t) );
W21 = 0.5*( C_DVDX(c,t)-C_DUDY(c,t) );
W22 = 0.5*( C_DVDY(c,t)-C_DVDY(c,t) );
W23 = 0.5*( C_DVDZ(c,t)-C_DWDY(c,t) );
W31 = 0.5*( C_DWDX(c,t)-C_DUDZ(c,t) );
W32 = 0.5*( C_DWDY(c,t)-C_DVDZ(c,t) );
W33 = 0.5*( C_DWDZ(c,t)-C_DWDZ(c,t) );

W=X*sqrt( 2*(W11*W11+W12*W12+W13*W13+W21*W21+W22*W22+W23*W23+W31*W31+W32*W32+W33*W33) );

// Define kinematic viscosity

v = u/p;

// Define turbulent Reynolds number

Ret=k*k/(e*v);

// Define Constant Cmu

c_mu=(0.3/(1.0+(0.35* MAX(S,W) ))*(1.0-exp(-0.36/(exp(-0.75* MAX(S,W) )))));

// Define Damping function of Gibson and Dafa'Alla (1994)

fmu= exp(-6.0/((1.0+(Ret/50.0))*(1.0+(Ret/50.0))))*(1.0+(3.0*exp(-Ret/10.0)));

// Define Eddy viscosity

mu_t=c_mu*fmu*C_K(c,t)*C_K(c,t)*C_D(c,t);

// Define constant of Craft et al.(1996)

C_4=10.0*SQR(c_mu);

C_6=5.0*SQR(c_mu);

```

```

C_7=5.0*SQR(c_mu);
// Define tensor index = SklSkI
Sij=S11*S11+S12*S12+S13*S13+S21*S21+S22*S22+S23*S23+S31*S31+S32*S32+S33*S33;
// Define tensor index = WklWkl
Wij=W11*W11+W12*W12+W13*W13+W21*W21+W22*W22+W23*W23+W31*W31+W32*W32+W33*W33;
//*****//
//***** IMPORTANT define only anisotropy tensor *****//
//***** and multiply k in the Reynolds stress *****//
//***** anisotropy tensor*****//
//*****//
//*****//
// Define anisotropy tensor of normal Reynolds stress
C_UDSI(c,t,UU)=
    C_1*mu_t*X* (S11*S11+S12*S12+S13*S13-1./3.*Sij)
    + 2.*C_2*mu_t*X* (W12*S12+W13*S13)
    + C_3*mu_t*X* (W12*W12+W13*W13-1./3.*Wij)
    -2.*C_4*mu_t*X*X*
(W12*(S11*S12+S12*S22+S13*S23)+W13*(S11*S13+S12*S23+S13*S33))
    + C_6*mu_t*X*X* (S11*Sij)
    + C_7*mu_t*X*X* (S11*Wij);

C_UDSI(c,t,VV)=
    C_1*mu_t*X* (S12*S12+S22*S22+S23*S23-1./3.*Sij)
    + 2.*C_2*mu_t*X* (W23*S23-W12*S12)
    + C_3*mu_t*X* (W12*W12+W23*W23-1./3.*Wij)
    + 2.*C_4*mu_t*X*X* (W12*(S11*S12+S12*S22+S13*S23)-
W23*(S12*S13+S22*S23+S23*S33))
    + C_6*mu_t*X*X* (S22*Sij)
    + C_7*mu_t*X*X* (S22*Wij);

C_UDSI(c,t,WW)=
    C_1*mu_t*X* (S13*S13+S23*S23+S33*S33-1./3.*Sij)
    - 2.*C_2*mu_t*X* (W13*S13+W23*S23)
    + C_3*mu_t*X* (W13*W13+W23*W23-1./3.*Wij)
    +2.*C_4*mu_t*X*X*
(W13*(S11*S13+S12*S23+S13*S33)+W23*(S12*S13+S22*S23+S23*S33))

```

```

+ C_6*mu_t*X*X* (S33*Sij)
+ C_7*mu_t*X*X* (S33*Wij);

// Define anisotropy tensor of shear Reynolds stress
C_UDSI(c,t,UV)=
    C_1*mu_t*X* (S11*S12+S12*S22+S13*S23)
+ C_2*mu_t*X* (W12*(S22-S11)+W13*S23+W23*S13)
+ C_3*mu_t*X* (W13*W23)
+ C_4*mu_t*X*X* (W12*(S11*S11+S13*S13-S22*S22-S23*S23)-
W13*(S12*S13+S22*S23+S23*S33)-W23*(S11*S13+S12*S23+S13*S33))
+ C_6*mu_t*X*X* (S12*Sij)
+ C_7*mu_t*X*X* (S12*Wij);

C_UDSI(c,t,UW)=
    C_1*mu_t*X* (S11*S13+S12*S23+S13*S33)
+ C_2*mu_t*X* (W13*(S33-S11)+W12*S23-W23*S12)
- C_3*mu_t*X* (W12*W23)
+ C_4*mu_t*X*X* (W13*(S11*S11+S12*S12-S23*S23-S33*S33)-
W12*(S11*S13+S22*S23+S23*S33)+W23*(S11*S12+S12*S22+S13*S23))
+ C_6*mu_t*X*X* (S13*Sij)
+ C_7*mu_t*X*X* (S13*Wij);

C_UDSI(c,t,VW)=
    C_1*mu_t*X* (S12*S13+S22*S23+S23*S33)
+ C_2*mu_t*X* (W23*(S33-S22)-W12*S13-W13*S12)
+ C_3*mu_t*X* (W12*W13)
+ C_4*mu_t*X*X* (W23*(S12*S12+S22*S22-S13*S13-
S33*S33)+W12*(S11*S13+S12*S23+S13*S33)+W13*(S11*S12+S12*S22+S13*S23))
+ C_6*mu_t*X*X* (S23*Sij)
+ C_7*mu_t*X*X* (S23*Wij);

// Define memory Reynolds stress by User defined Memory
//*****
//*****IMPORTANT define Linear and Nonlinear Term*****
//*****
C_UDMI(c,t,0)= 2./3.*C_K(c,t) -2.*mu_t*S11 + C_UDSI(c,t,UU);
C_UDMI(c,t,1)= 2./3.*C_K(c,t) -2.*mu_t*S22 + C_UDSI(c,t,VV);
C_UDMI(c,t,2)= 2./3.*C_K(c,t) -2.*mu_t*S33 + C_UDSI(c,t,WW);

```

```

C_UDMI(c,t,3)= -2.*mu_t*S12 + C_UDSI(c,t,UV);
C_UDMI(c,t,4)= -2.*mu_t*S13 + C_UDSI(c,t,UW);
C_UDMI(c,t,5)= -2.*mu_t*S23 + C_UDSI(c,t,VW);
}
end_c_loop(c,t)
}
}

```

โปรแกรมของฟังก์ชันยูดีเอฟสำหรับแบบจำลองความปั่นป่วนชนิดไม่เชิงเส้น
แบบ high Reynolds number ของ Craft et al. (1996)

```

// High Reynolds number Non Linear Craft et al 3D Cubic with k and epsilon source for EWF //by Suabsakul Gururatana
//8 Feb 2006
#include "udf.h"
#include "math.h"
/* Turbulence model constants */
const real C_1=-0.1;
const real C_2=0.1;
const real C_3=0.26;
const real C_5=0.0;
// User-defined scalars : Define Reynolds stress
enum
{
UU,
VV,
WW,
UV,
UW,
VW
};
// Define source in x momentum equation
DEFINE_SOURCE(u_source, c, t, dS, eqn)
{
real source;
dS[eqn]=0.0;

```

```

source= - C_R(c,t) * ( C_UDSI_G(c,t,UU)[0] + C_UDSI_G(c,t,UV)[1]+C_UDSI_G(c,t,UW)[2] );
return source;
}

// Define source in y momentun equation
DEFINE_SOURCE(v_source, c, t, dS, eqn)
{
real source;
dS[eqn]= 0.0;
source = - C_R(c,t)*(C_UDSI_G(c,t,UV)[0]+ C_UDSI_G(c,t,VV)[1] + C_UDSI_G(c,t,VW)[2] );
return source;
}

// Define source in z momentun equation
DEFINE_SOURCE(w_source, c, t, dS, eqn)
{
real source;
dS[eqn]= 0.0;
source= -C_R(c,t)*(C_UDSI_G(c,t,UW)[0] + C_UDSI_G(c,t,VW)[1] + C_UDSI_G(c,t,WW)[2] );
return source;
}

DEFINE_SOURCE(k_source, c, t, dS, eqn)
{
real prod;
dS[eqn]= 0.0;
prod=-C_R(c,t)*(C_UDSI(c,t,UU)*C_DUDX(c,t)+C_UDSI(c,t,UV)*C_DVDX(c,t)+
C_UDSI(c,t,UW)*C_DWDX(c,t)+C_UDSI(c,t,UV)*C_DUDY(c,t)+C_UDSI(c,t,VV)*C_DVDY(c,t)+C_UDSI(c,t,VW)*C_DWD
Y(c,t)+C_UDSI(c,t,UW)*C_DUDZ(c,t)+C_UDSI(c,t,VW)*C_DVDZ(c,t) + C_UDSI(c,t,WW)*C_DWDZ(c,t));
return prod;
}

DEFINE_SOURCE(e_source, c, t, dS, eqn)
{
real prod;
real c_1e =1.44;
dS[eqn]= 0.0;
prod=
- c_1e*C_D(c,t)/C_K(c,t)*C_R(c,t)*(C_UDSI(c,t,UU)*C_DUDX(c,t)+
C_UDSI(c,t,UV)*C_DVDX(c,t)+C_UDSI(c,t,UW)*C_DWDX(c,t)+C_UDSI(c,t,UV)*C_DUDY(c,t)+C_UDSI(c,t,VV)*C_DVD
Y(c,t)+C_UDSI(c,t,VW)*C_DWDY(c,t)+C_UDSI(c,t,UW)*C_DUDZ(c,t) + C_UDSI(c,t,VW)*C_DVDZ(c,t) +

```

```

C_UDSI(c,t,WW)*C_DWDZ(c,t);
return prod;
}
// Define Eddy viscosity
DEFINE_TURBULENT_VISCOSITY(Craft_Mu_t,c,t)
{
real S,W,c_mu,T,mu_t;
real S11, S12, S13, S21, S22, S23, S31, S32, S33;
real W11, W12, W13, W21, W22, W23, W31, W32, W33;
// Define variable
real u = C_MU_L(c,t); //laminar viscosity
real p = C_R(c,t); //density
real v, Ret,fmu;
real k = C_K(c,t); //Turbulent kinetic energy(k)
real e = C_D(c,t); //Dissipation rate (epsilon)
T=C_K(c,t)/C_D(c,t); // k/e
// Define stress tensor
S11 = 0.5*( C_DUDX(c,t)+C_DUDX(c,t) );
S12 = 0.5*( C_DUDY(c,t)+C_DVDX(c,t) );
S13 = 0.5*( C_DUDZ(c,t)+C_DWDX(c,t) );
S21 = 0.5*( C_DVDX(c,t)+C_DUDY(c,t) );
S22 = 0.5*( C_DVDY(c,t)+C_DVDY(c,t) );
S23 = 0.5*( C_DVDZ(c,t)+C_DWDY(c,t) );
S31 = 0.5*( C_DWDX(c,t)+C_DUDZ(c,t) );
S32 = 0.5*( C_DWDY(c,t)+C_DVDZ(c,t) );
S33 = 0.5*( C_DWDZ(c,t)+C_DWDZ(c,t) );
S=T*sqrt( 2*(S11*S11+S12*S12+S13*S13+S21*S21+S22*S22+S23*S23+S31*S31+S32*S32+S33*S33) );
// Define vorticity tensor
W11 = 0.5*( C_DUDX(c,t)-C_DUDX(c,t) );
W12 = 0.5*( C_DUDY(c,t)-C_DVDX(c,t) );
W13 = 0.5*( C_DUDZ(c,t)-C_DWDX(c,t) );
W21 = 0.5*( C_DVDX(c,t)-C_DUDY(c,t) );
W22 = 0.5*( C_DVDY(c,t)-C_DVDY(c,t) );
W23 = 0.5*( C_DVDZ(c,t)-C_DWDY(c,t) );
W31 = 0.5*( C_DWDX(c,t)-C_DUDZ(c,t) );
W32 = 0.5*( C_DWDY(c,t)-C_DVDZ(c,t) );

```

```

W33 = 0.5*( C_DWDZ(c,t)-C_DWDZ(c,t) );

W=T*sqrt( 2*(W11*W11+W12*W12+W13*W13+W21*W21+W22*W22+W23*W23+W31*W31+W32*W32+W33*W33) );

// Define kinematic viscosity
v = u/p;

// Define turbulent Reynolds number
Ret=k*k/(e*v);

// Define Constant Cmu
c_mu=(0.3/(1.0+(0.35* MAX(S,W) )))*(1.0-exp(-0.36/(exp(-0.75* MAX(S,W) ))));

// Define Damping function equal 1.0 for High Reynolds number
fmu=1.;

// Define Eddy viscosity
mu_t=c_mu*T*C_K(c,t);

return mu_t;
}

DEFINE_ADJUST(rsm_adjust,domain)
{
Thread *t;
cell_t c;
real X;
real mu_t, c_mu;
real S11, S12, S13, S21, S22, S23, S31, S32, S33;
real W11, W12, W13, W21, W22, W23, W31, W32, W33;
real S, W, Sij, Wij;
real C_4, C_6, C_7;
real P11, P22, P33, Plk;
real tau_w, u_tauw, u_star, y_star, Gk, u_mag;

real u ;
real p ;
real v, Ret,fmu;
real k ;
real e ;

/* Set the turbulent viscosity */
thread_loop_c(t,domain)
if (FLUID_THREAD_P(t))
{
begin_c_loop(c,t)

```

```

{
// Define variable
u= C_MU_L(c,t); //laminar viscosity
p= C_R(c,t);      //density
k= C_K(c,t);      //Turbulent kinetic energy(k)
e= C_D(c,t);      //Dissipation rate (epsilon)
X=C_K(c,t)/C_D(c,t); // k/e

// Define stress tensor
S11 = 0.5*( C_DUDX(c,t)+C_DUDX(c,t) );
S12 = 0.5*( C_DUDY(c,t)+C_DVDX(c,t) );
S13 = 0.5*( C_DUDZ(c,t)+C_DWDX(c,t) );
S21 = 0.5*( C_DVDX(c,t)+C_DUDY(c,t) );
S22 = 0.5*( C_DVDY(c,t)+C_DVDY(c,t) );
S23 = 0.5*( C_DVDZ(c,t)+C_DWDY(c,t) );
S31 = 0.5*( C_DWDX(c,t)+C_DUDZ(c,t) );
S32 = 0.5*( C_DWDY(c,t)+C_DVDZ(c,t) );
S33 = 0.5*( C_DWDZ(c,t)+C_DWDZ(c,t) );

S=X*sqrt( 2*(S11*S11+S12*S12+S13*S13+S21*S21+S22*S22+S23*S23+S31*S31+S32*S32+S33*S33) );

// Define vorticity tensor
W11 = 0.5*( C_DUDX(c,t)-C_DUDX(c,t) );
W12 = 0.5*( C_DUDY(c,t)-C_DVDX(c,t) );
W13 = 0.5*( C_DUDZ(c,t)-C_DWDX(c,t) );
W21 = 0.5*( C_DVDX(c,t)-C_DUDY(c,t) );
W22 = 0.5*( C_DVDY(c,t)-C_DVDY(c,t) );
W23 = 0.5*( C_DVDZ(c,t)-C_DWDY(c,t) );
W31 = 0.5*( C_DWDX(c,t)-C_DUDZ(c,t) );
W32 = 0.5*( C_DWDY(c,t)-C_DVDZ(c,t) );
W33 = 0.5*( C_DWDZ(c,t)-C_DWDZ(c,t) );

W=X*sqrt( 2*(W11*W11+W12*W12+W13*W13+W21*W21+W22*W22+W23*W23+W31*W31+W32*W32+W33*W33) );

// Define kinematic viscosity
v = u/p;

// Define turbulent Reynolds number
Ret=k*k/(e*v);

// Define Constant Cmu
c_mu=(0.3/(1.0+(0.35* MAX(S,W) )))*(1.0-exp(-0.36/(exp(-0.75* MAX(S,W) ))));

// Define Damping function equal 1.0 for High Reynolds number

```

```

fmu=1.;
// Define Eddy viscosity
mu_t=c_mu*fmu*C_K(c,t)*C_K(c,t)*C_D(c,t);
// Define constant of Craft et al.(1996)
C_4=-10.0*SQR(c_mu);
C_6=-5.0*SQR(c_mu);
C_7=5.0*SQR(c_mu);
// Define tensor index = SklSkI
Sij=S11*S11+S12*S12+S13*S13+S21*S21+S22*S22+S23*S23+S31*S31+S32*S32+S33*S33;
// Define tensor index = WklWkl
Wij=W11*W11+W12*W12+W13*W13+W21*W21+W22*W22+W23*W23+W31*W31+W32*W32+W33*W33;
//*****//
//***** IMPORTANT define only anisotropy tensor *****//
//***** and multiply k in the Reynolds stress *****//
//***** anisotropy tensor*****//
//*****//
//*****//
// Define anisotropy tensor of normal Reynolds stress
C_UDSI(c,t,UU)=
    C_1*mu_t*X* (S11*S11+S12*S12+S13*S13-1./3.*Sij)
    + 2.*C_2*mu_t*X* (W12*S12+W13*S13)
    + C_3*mu_t*X* (W12*W12+W13*W13-1./3.*Wij)
    -2.*C_4*mu_t*X*X*
(W12*(S11*S12+S12*S22+S13*S23)+W13*(S11*S13+S12*S23+S13*S33))
    + C_6*mu_t*X*X* (S11*Sij)
    + C_7*mu_t*X*X* (S11*Wij);

C_UDSI(c,t,VV)=
    C_1*mu_t*X* (S12*S12+S22*S22+S23*S23-1./3.*Sij)
    + 2.*C_2*mu_t*X* (W23*S23-W12*S12)
    + C_3*mu_t*X* (W12*W12+W23*W23-1./3.*Wij)
    + 2.*C_4*mu_t*X*X* (W12*(S11*S12+S12*S22+S13*S23)-
W23*(S12*S13+S22*S23+S23*S33))
    + C_6*mu_t*X*X* (S22*Sij)
    + C_7*mu_t*X*X* (S22*Wij);

```

C_UDSI(c,t,WW)=

$$\begin{aligned} & C_1 * \mu_t * X * (S13 * S13 + S23 * S23 + S33 * S33 - 1./3. * Sij) \\ & - 2. * C_2 * \mu_t * X * (W13 * S13 + W23 * S23) \\ & + C_3 * \mu_t * X * (W13 * W13 + W23 * W23 - 1./3. * Wij) \\ & + 2. * C_4 * \mu_t * X * X * \end{aligned}$$

(W13*(S11*S13+S12*S23+S13*S33)+W23*(S12*S13+S22*S23+S23*S33))

$$\begin{aligned} & + C_6 * \mu_t * X * X * (S33 * Sij) \\ & + C_7 * \mu_t * X * X * (S33 * Wij); \end{aligned}$$

// Define anisotropy tensor of shear Reynolds stress

C_UDSI(c,t,UV)=

$$\begin{aligned} & C_1 * \mu_t * X * (S11 * S12 + S12 * S22 + S13 * S23) \\ & + C_2 * \mu_t * X * (W12 * (S22 - S11) + W13 * S23 + W23 * S13) \\ & + C_3 * \mu_t * X * (W13 * W23) \\ & + C_4 * \mu_t * X * X * (W12 * (S11 * S11 + S13 * S13 - S22 * S22 - S23 * S23) - \end{aligned}$$

W13*(S12*S13+S22*S23+S23*S33)-W23*(S11*S13+S12*S23+S13*S33))

$$\begin{aligned} & + C_6 * \mu_t * X * X * (S12 * Sij) \\ & + C_7 * \mu_t * X * X * (S12 * Wij); \end{aligned}$$

C_UDSI(c,t,UW)=

$$\begin{aligned} & C_1 * \mu_t * X * (S11 * S13 + S12 * S23 + S13 * S33) \\ & + C_2 * \mu_t * X * (W13 * (S33 - S11) + W12 * S23 - W23 * S12) \\ & - C_3 * \mu_t * X * (W12 * W23) \\ & + C_4 * \mu_t * X * X * (W13 * (S11 * S11 + S12 * S12 - S23 * S23 - S33 * S33) - \end{aligned}$$

W12*(S11*S13+S22*S23+S23*S33)+W23*(S11*S12+S12*S22+S13*S23))

$$\begin{aligned} & + C_6 * \mu_t * X * X * (S13 * Sij) \\ & + C_7 * \mu_t * X * X * (S13 * Wij); \end{aligned}$$

C_UDSI(c,t,VW)=

$$\begin{aligned} & C_1 * \mu_t * X * (S12 * S13 + S22 * S23 + S23 * S33) \\ & + C_2 * \mu_t * X * (W23 * (S33 - S22) - W12 * S13 - W13 * S12) \\ & + C_3 * \mu_t * X * (W12 * W13) \\ & + C_4 * \mu_t * X * X * (W23 * (S12 * S12 + S22 * S22 - S13 * S13 - \end{aligned}$$

S33*S33)+W12*(S11*S13+S12*S23+S13*S33)+W13*(S11*S12+S12*S22+S13*S23))

$$\begin{aligned} & + C_6 * \mu_t * X * X * (S23 * Sij) \\ & + C_7 * \mu_t * X * X * (S23 * Wij); \end{aligned}$$

// Define memory Reynolds stress by User defined Memory

```

//*****//
//*****IMPORTANT define Linear and Nonlinear Term*****//
//*****//

C_UDMI(c,t,0)= 2./3.*C_K(c,t) -2.*mu_t*S11 + C_UDSI(c,t,UU);
C_UDMI(c,t,1)= 2./3.*C_K(c,t) -2.*mu_t*S22 + C_UDSI(c,t,VV);
C_UDMI(c,t,2)= 2./3.*C_K(c,t) -2.*mu_t*S33 + C_UDSI(c,t,WW);
C_UDMI(c,t,3)= -2.*mu_t*S12 + C_UDSI(c,t,UV);
C_UDMI(c,t,4)= -2.*mu_t*S13 + C_UDSI(c,t,UW);
C_UDMI(c,t,5)= -2.*mu_t*S23 + C_UDSI(c,t,VW);
}
end_c_loop(c,t)
}
}

```